

UNIVERSIDAD NACIONAL AUTONOMA DE MEXICO
FACULTAD DE QUIMICA

ESTUDIO SINTETICO Y ESPECTROSCOPICO DE NUEVOS
COMPUESTOS DERIVADOS DEL ALDEHIDO ASARILICO

T E S I S
que para obtener el título de:
Q U I M I C O
p r e s e n t a
LENA RUIZ AZUARA

México, D. F.

1968



UNAM – Dirección General de Bibliotecas

Tesis Digitales
Restricciones de uso

DERECHOS RESERVADOS ©
PROHIBIDA SU REPRODUCCIÓN TOTAL O PARCIAL

Todo el material contenido en esta tesis está protegido por la Ley Federal del Derecho de Autor (LFDA) de los Estados Unidos Mexicanos (México).

El uso de imágenes, fragmentos de videos, y demás material que sea objeto de protección de los derechos de autor, será exclusivamente para fines educativos e informativos y deberá citar la fuente donde la obtuvo mencionando el autor o autores. Cualquier uso distinto como el lucro, reproducción, edición o modificación, será perseguido y sancionado por el respectivo titular de los Derechos de Autor.

PRESIDENTE JOSE VERNAN ARELLANO
VOCAL ALFONSO POVO DE VIVAR
JURADO ASIGNADO ORIGI- SECRETARIO FRANCISCO SANCHEZ VIESCA
NALMENTE SEGUN EL TEMA 1er. SUPL. ROSA MARTHA GONCALVES MUÑOZ
2do. SUPL. MA. DE LOS ANGELES RODRIGUEZ ARANA

SITIO DONDE SE DESARROLLO EL TEMA: DIVISION DE ESTUDIOS SUPERIORES (FA-
cultad de Ciencias, U.N.A.M.).

LIMA RUIZ AGUARA (SUSTENTANTE):

Lima Ruiz Aguara

DR. FRANCISCO SANCHEZ VIESCA (ASESOR DEL TEMA):

J. Francisco Viesca

ESTE TRABAJO SE DESARROLLO EN LA

PACULTAD DE QUIMICA

DE LA

UNIVERSIDAD NACIONAL AUTONOMA DE MEXICO

BAJO LA DIRECCION

DEL

DR. FRANCISCO SANCHEZ VIESCA.

I N D I C E.

I.- INTRODUCCION	p. 1
II.- DISCUSION TEORICA	p. 2
III.- ESPECTROGRAMAS	p. 18
IV.- PARTE EXPERIMENTAL	p. 38
V.- CONCLUSIONES	p. 56
VI.- BIBLIOGRAFIA	p. 58

Introducción.

El aldehido asarílico (*2,4,5-trimetoxibenzaldehido*) a causa de los tres metoxilos sustituidos en el grupo a aromático, presenta propiedades químicas especiales.

Comparándolo con el benzaldehido, y con otros aldehidos aromáticos similares, como el anisaldehido, veratraldehido o piperonal; el asaraldehído, en las condiciones de la reacción de Perkin (1), no forma el ácido cíndrico correspondiente; ni se efectúa la condensación benzofónica (2). Tampoco forma el diacetato de aldehido y por nitración, el grupo nitro desplaza al grupo formilo, indicando lo labil de la unión del grupo formilo al anillo bencénico. Sin embargo la falta de reactividad del grupo aldehido no se presenta si se le somete a condensaciones del tipo aldólicas (3 y 4).

Estas propiedades especiales del aldehido asarílico llevaron a continuar su estudio.

El asaraldehído fue originalmente obtenido por oxidación de un producto natural, la agarona (*1,2,4-trimetoxi, 5-propenilbenceno*). Gattermann y Eggers (5) lo sintetizaron por formalización de *1,2,4-trimetoxibenceno* con una mezcla de ácido cianhídrico y ácido clorhídrico en presencia de tricloruro de aluminio anhídrido.

El aldehido asarílico utilizado en esta tesis fue preparado por la reacción de Vilsmeyer (6), que introduce el grupo formilo a compuestos aromáticos reactivos. En este caso la *N,N*-diacetilformamida y el cloruro de fosforile formulan el *1,2,4-trimetoxibenceno*, formándose un complejo intermedioario, el cual por hidrólisis da el aldehido esperado.

Se presenta la preparación de varios derivados del asaraldehído, sus propiedades y sus datos espectroscópicos de IR y RMN.

Se incluye un estudio químico y analítico del fenol correspondiente (*2,4,5-trimetoxifenol*), sintetizado a partir del asaraldehído.

Discusión Teórica.

El ascaraldehido (I) utilizado en la presente tesis se obtuvo mediante la formilación del 1,2,4-trimetoxibenceno (II) con el complejo formado entre la N,N-dimetilformamida y el cloruro de fosforilo (reacción de Vilsmeier).

Este reciente método (7 y 8) es el más conveniente para preparar el aldehído asarílico.

La reacción de Vilsmeier (6) introduce el grupo formilo en compuestos aromáticos reactivos, tales como la N,N-dimetilanilina, pirrol e indol y es especialmente útil en la preparación de aldehídos derivados de éteres fenílicos. En este último tipo de compuestos, el grupo aldehido entra en la posición para al grupo etéreo. Se describe (9) uno de los mecanismos de reacción propuestos (6 y 9) (ver el esquema de reacción, p. 13).

En la parte experimental se detalla el cuidadoso control de la temperatura al efectuar la reacción, del cual depende tanto el rendimiento como la pureza del producto obtenido.

El 1,2,4-trimetoxibenceno se sintetizó (10) a partir del triacetato de la hidroxihidroquinona (triacetato de 1,2,4-feneno) (III), obtenido por reducción acetilante de p-benzoquinona (11 y 12). Otro método para preparar el 1,2,4-trimetoxibenceno, parte de la vainillina, la cual por oxidación con agua oxigenada, en medio alcalino, origina metoxiquinol (IV) (13), del cual se obtiene el 1,2,4-trimetoxibenceno mediante metilación (14).

Se determinó el espectro de infrarrojo del 1,2,4-trimetoxibenceno (película), en el cual se identificaron las siguientes bandas asociadas a los grupos metoxilo (15); una banda en $2\ 850\ \text{cm}^{-1}$, la cual se encuentra invariablemente presente en los espectros de compuestos metoxilados y generalmente se encuentra bien separada; es debida a las vibraciones simétricas de alargamiento O-H; una banda en $1\ 465\ \text{cm}^{-1}$, banda

de deformación asimétrica C-H (metilo del metoxilo); bandas en 1 220 y 1 015 cm^{-1} , debidas a vibraciones longitudinales C-O de los metoxilos, siendo la primera a la unión oxígeno-carbeno aromático y la segunda a la unión oxígeno-carbeno alifático, y una banda en 1 110 cm^{-1} (-OCH₃). El espectro presenta bandas en 1 610, 1 590 y 1 515 cm^{-1} , debidas a las vibraciones C=C del anillo aromático, y una banda en 340 cm^{-1} debida a la vibración de deformación plana del plano de las uniones hidrógeno-carbeno aromático (16).

El asaraldehido es un sólido blan \circ . Cristaliza de alcohol-agua en forma de agujas largas y secoas que funden a 114°. A diferencia del benzaldehido, no se oxida al contacto del aire. El asaraldehido (2,4,6-trimetoxibenzaldehido) carece de olor. Si se lo compara con el verataldehido (3,4-dimetoxibenzaldehido), el cual tiene un marcado olor a vainilla, se deduce que, en el asaraldehido, el grupo metoxilo en posición ortho al aldehido es el causante de la pérdida de dicho olor.

El asaraldehido es soluble en ácido sulfúrico concentrado, ácido fosfórico al 50% y ácido perclórico al 72%, dando color amarillo a las soluciones. Al cabo de una hora y media el color de la solución de asaraldehido en ácido fosfórico pasa a verde. El aldehido amarillento presenta fluorescencia azul en luz ultravioleta.

El espectro de infrarrojo del asaraldehido, en solución clorofórmica, presenta las siguientes bandas: tres bandas en la región debida a las vibraciones C-H, en 3 040, 2 975 y 2 875 cm^{-1} ; la banda del carbonilo aldehídico aparece sobre 1 660 cm^{-1} , igual que el salicilaldehido, desplazada del rango más frecuente (1 600-1 715 cm^{-1}) debido a la sustitución en el anillo aromático; una banda en 1 600 cm^{-1} , la banda de máxima intensidad en el espectro, debida al níquel μ rotátilo, en especial cuando el fenilo se encuentra conjugado con un grupo no saturado (17); una banda en 1 515 cm^{-1} debida a las vibraciones C-C en el anillo aromático; una banda en 1 470 cm^{-1} banda de deformación asimétrica C-H (CH₃ del OCH₃);

una banda en 1 350 cm^{-1} , en casi todos los compuestos metoxilados aparece una banda en la región de 1 340 cm^{-1} (15); bandas en 1 270 y 1 025 cm^{-1} debidas a vibraciones C-O longitudinales de los metoxilos, una banda en 1 130 cm^{-1} (OCH_3) y dos bandas de tipo aromático en 860 y 820 cm^{-1} originadas por las vibraciones C-H fuera del plano.

El clorofenol tiene una región en la cual no es transparente. Para obtener el espectro del asaraldehido en esta región se hizo una determinación en solución de disulfuro de carbono, presentando bandas en 1 380, 1 200 y 755 cm^{-1} , bandas características de grupos aromáticos y ésteres aromáticos.

En el desarrollo de esta tesis se prepararon los compuestos derivados del aldehído asarílico que a continuación se describen.

Para la preparación de varios ésteres, se estudió la reducción del asaraldehido.

El alcohol 2,4,5-trimetoxibenfílico fue preparado por Govindachari y col. (16) mediante reducción del asaraldehido con hidruro dotado de litio y aluminio, empleando éter y tetrahidrofurano como disolventes. Un método más conveniente, empleado en esta tesis, es reducir con borohidruro de sodio una suspensión de asaraldehido en metanol. El alcohol asarílico tiene bandas en el infrarrojo en 3 460, 3 360, 1 320, 1 000 y 975 cm^{-1} . Las tres últimas no se encuentran en el espectro del aldehído original. Se preparó el propionato del alcohol, apareciendo la banda de carbonilo del grupo éster a 1 730 cm^{-1} .

El alcohol 2,4,5-trimetoxibenfílico es soluble en agua y en extremo inestable en medio ácido. Al acidular la solución acuosa del alcohol con ácido clorhídrico al 3%, precipita otro compuesto, 2,4,5,1',4',5'-hexametoxy-difenilmetano, el cual ha sido obtenido empleando condiciones ácidas mucho más drásticas (16). El espectro de RMN confirma la estructura propuesta (VI). Este derivado se forma al reaccionar dos moléculas del alcohol, eliminando agua y formal. El curso de

esta reacción debe ser el siguiente: con una parte del alcohol trimetoxibencílico ocurre una reacción de Lederer-Manasse regresiva, produciéndose 1,2,4-trimetoxibenzeno y formol, el primero actuando de manera similar a la de los fenoles; efectuándose a continuación una reacción de deshidratación entre el trimetoxibenzeno y el alcohol trimetoxibencílico restante, dando lugar al derivado del difenilmetano. El paso final puede interpretarse también como una reacción de Baeyer entre dos moléculas de trimetoxibenzeno y una de formol. Véase la bibliografía relacionada con estas reacciones (19-21). Recientemente, Kazetani y col. (22) sintetizaron sin inconvenientes el alcohol 3,4,5-trimetoxibenzeno y el cloruro de bencilo correspondiente. Sin embargo, Kameya et al. (23) no pudieron preparar el alcohol 2,4,6-trimetoxibenzeno. Además de otros experimentos, estos autores efectuaron una reacción de Lederer-Manasse con el éter trimetílico del floroelucinol, obteniéndose el 2,4,6,2',4',6'-hexametoxi**inf**fenilmetano. De los resultados anteriores y de los descritos en la presente tesis se concluye que el grupo metoxilo en posición ortho al carbonio lo ejerce una influencia decisiva en la reactividad del alcohol. Sin embargo, la presencia exclusiva de dicho grupo no es suficiente para que ocurra la formación del derivado del difenilmetano, ya que a partir del alcohol o-metoxibencílico (éster monometílico de la saligenina) se obtiene el cloruro de bencilo correspondiente empleando ácido clorhídrico gaseoso (24).

Se consideró de interés estudiar la oxidación del alcohol asaríflico al aldehído, ya que además de ser una oxidación parcial, la reacción debe efectuarse en medio básico debido a la inestabilidad de dicho alcohol en medio ácido. La reacción se llevó a cabo con éxito empleando tetracetato de plomo y piridina(25).

Recientemente Hardegger y col. (26) prepararon el d-ácido asarónico a través la reacción de Lieben, tratando la 2,4,5-trimetoxiacetofenona con solución de hipobromito potásico. La 2,4,5-trimetoxiacetofenona ha sido preparada a partir de 1,

2,4-trimetoxibenceno, empleando la reacción de Friedel y Crafts (27-29). Mauthner (30) realizó la transposición de Fries con el triacetato de la hidroxihidroquinona. La acetofenona resultante debe ser la 2,4,5-trihidroxi-acetofenona (VIII), según lo esperado y lo que se puede deducir del texto, y no la 2,3,5-trihidroxi-acetofenona como aparece en fórmula estructural. Compárense (30, p. 206). Véase también (31). Rabjohn y Mendel (32) prepararon el derivado trimetílico de la trihidroxi-acetofenona en cuestión y, empleando la reacción del haloformo, trataron de obtener el ácido 2,3,5-trimetoxi-benzoico. El producto resultante fue 2,4,5-trimetoxi-bromobenceno (X). La formación de este compuesto se explica mediante la transformación de la 2,4,5-trimetoxiacetofenona (XI) en ácido 2,4,5-trimetoxi-benzoico, descarboxilación del ácido originando 1,2,4-trimetoxibenceno (XII) y bromación de este último (o del anión resultante de la descarboxilación). Los citados autores consideraron en cambio que, a partir de la 2,3,5-trimetoxi-acetofenona, se había formado como intermediario el ácido 2,3,5-trimetoxi, α -bromobenzoico.

Con el objeto de realizar un ensayo biológico, se preparó asaronina (1,2,4-trimetoxi,5-propenil-benceno) (XII). En su espectro de R.M., el grupo propenilo presenta las líneas características de un sistema AB₃ (33). El grupo metilo origina una señal cuádruple centrada en 8,10 τ (3H; J_{BX_3} = 6 c/s; J_{AX_3} = 1,5 c/s). Al hidrógeno vinílico vecino al metilo H_B, corresponden 2 cuadruplates con centro en 3,95 τ (J_{AB} = 10 c/s; J_{BX_3} = 6 c/s). El hidrógeno vinílico H_A presenta líneas similares al anterior, con centro en 3,28 τ , y las constantes de acoplamiento esperadas (J_{AB} y J_{AX_3}).

El asaraldehido se condensó con orto-amino-fenol (34) obteniéndose 2(2',4',5'-trimetoxifenil)benzoxazol (XIII). En su espectro infrarrojo se comprobó la ausencia de bandas en la región de oxhidrilo y carbonilo.

Se intentó adicionar fenilhidracina sobre el enlace etilénico del 2,4,5-trimetoxibencilidén malonato de dimetilo (XIV) (35). Se encontró que el producto de reacción es la

fenilhidrazone del asaraldehido, indicando la inestabilidad del producto de adición intermedio. También se intentó a dicionar p-anisidina en la molécula de la 2,4,5-trimetoxibenzoiliden acetilacetona (XVI) (35). En este caso se obtuvo la base de Schiff (XVII). Es de hacer notar que en el caso de intervenir la base de Schiff y cianacetato de metilo o cianoacetamida se obtiene en ambos casos, el producto de reacción del aldehido con el cianoderivado(36).

El aldehido asarílico se hizo reaccionar, en medio ácido, con la cicloheptanona, formándose la diarilidene ciclona (XVIII). Este compuesto presenta en el espectro de IR bandas en 1 650 y 950 cm^{-1} .

La hidroxiquinolino-quinona (hidroxiquinol, VII) se obtuvo por hidrólisis ácida del 1,2,4-triacetoxibenceno (37). El trifenol se preparó con el objeto de determinar su espectro de infrarrojo y tener, así, una curva de referencia.

El 1,2,4-triacetoxi-benceno se hizo reaccionar con tricloruro de aluminio anhídrico, en nitrobenceno como disolvente. De esta reacción de Fries (30) se obtuvo, con un bajo rendimiento, la 2,4,5-trihidroxiacetofenona (ver p. 6). Se incluyen los espectros de infrarrojo de esta cetona y de su triacetato.

El 2,4,5-trietoxibenzaldehido se hizo reaccionar con malonato de dimetilo, con malonato ácido de etilo y con cianoacetamida, obteniéndose los correspondientes derivados benciliénicos (XX, XXI, XXII). En el espectro de resonancia magnética nuclear del compuesto (XX) se observa un singulete en (476 c/s) 2,08 τ , correspondiente al hidrógeno vinílico. Los hidrógenos aromáticos originan singuletes en (412 y 380 c/s), 3,12 y 3,66 τ . Los metilos de los grupos carbometoxi originan dos señales agudas en (223 y 226 c/s) 6,2 y 6,22 τ , en tanto que los metilenos y metilos de los etoxilos dan lugar a multipletos en (238 y 86 c/s) 0,02 y 0,56 τ . El primero y las señales de los 0-metilo se superponen parcialmente, integración 12H (3-CH_3 - y 2-OCH_3). El segundo multiplete integra para 9 protones (3 CH_3).

En el espectro del 2,4,5-trietoxicinamato de etilo (XII) se observan dobletes en (765 y 375 c/s) 2,24 y 3,74 τ (hidrógenos vinílicos) y singuletes en (416 y 380 c/s) 3,04 y 1,66 τ (hidrógenos aromáticos). Los cuatro grupos O-etilo originan multipletes en (243 y 23 c/s) 5,94 y 8,72 τ (CH_2 y CH_3 , respectivamente).

El 2,4,5-trimetoxifeno^l puede obtenerse, mediante la reacción de Beeseken (19,p.33), a partir de 2,4,5-trimeto^l xiacetofenona o de asuraldehido. El primer caso ha sido descrito por Ballie y Almirante (30), quienes sintetizaron el acetato del fenol haciendo reaccionar la citada acetofenona con ácido peracético. En el presente estudio, el 2,4,5-trimetoxifeno^l se preparó a partir de asuraldehido y ácido peracético, vía el formiato. Cuando la reacción se efectúa sin mantener constante la temperatura ambiente, se formaron dos compuestos, uno blanco (el formiato) y otro amarillo. Este último se identificó como 2,5-dimetoxi,1,4-benzoquinona, (ν_{max} 1 660 cm^{-1} ; rango de sublimación 250-300°; descompone, en tubo cerrado, a 290-300°). Esta quinona fue obtenida por Jansen (39) como un subproducto en la preparación de asuraldehido mediante oxonólisis de la asarena. Si la reacción del asuraldehido con el ácido peracético se lleva a cabo manteniendo constante la temperatura ambiente, se produce casi exclusivamente el formiato y trazas de la quinona. El éster fenólico presenta en el infrarrojo una banda de carbonilo en 1 745 cm^{-1} . En su espectro de resonancia magnética nuclear, los hidrógenos aromáticos, casi equivalentes, originan dos singuletes continuos (3,30 y 3,35 τ). El hidrógeno del grupo formoxi da lugar a un singulete en 1,75 τ . El 2,4,5-trimetoxifeno^l, resultante de la hidrólisis alcalina en medio acuoso del formiato anterior, muestra en su espectro de infrarrojo una banda de -OH en 3 500 cm^{-1} y es soluble en agua. El propionato correspondiente (ν_{max} 1 780 cm^{-1}) exhibe en el espectro, en la de H.N un pico en 3,36 τ , intensidad 2H, proveniente de los protones aromáticos. Aparecen, en 7,47 y 8,73 τ , un cuadruplete y un triplete originados por el grupo -CO-CH₂-CH₃.

Con el asarol (2,4,5-trimetoxifenol) se realizaron varias reacciones de coloración para la identificación de fenoles, entre ellas, la reacción de Candussio (40) en la cual la coloración presentada por el asarol (XXVI) depende de la proporción fenol:reactivo, así para una pequeña cantidad de asarol se obtiene una coloración rojo-naranja, y con exceso de asarol se forma inicialmente una coloración azul, la cual pasa a rojo al adicionar más reactivo.

Con el reactivo de Jacquinot (40, p. 143) los fenoles originan una coloración azul, la cual pasa a rojo por adición de ácido clorhídrico diluido. Usando asarol la reacción es más lenta que en el caso de otros fenoles; se separa un aceite rojo intenso y la fase acuosa se colorea débilmente de azul.

La solución de ferricínamuro potásico-cloruro férrico (41) resulta ser un reactivo mucho más sensible para los fenoles que la prueba de cloruro férrico. El asarol presenta una coloración azul, siendo negativa la prueba con el cloruro férrico.

El 2,4,5-trimetoxifenol origina un color café rojizo con el reactivo de Fründ (42) (solubilizado de amonio en ácido sulfúrico concentrado).

En las condiciones indicadas, el asarol forma un producto de reacción de color azul intenso con el ácido molibdico (43).

Si se trata una solución diluida de un fenol con el reactivo de Eschrich (44) se forma generalmente una coloración verde la cual cambia a azul. El asarol presenta una coloración naranja, que pasa a café y finalmente se separa un precipitado rojizo. Si existe exceso de asarol antes de iniciar la adición de persulfato potásico se forma una coloración azul, la cual toma los colores anteriores indicados al continuar dicha adición.

A la solución verde intenso, resultante de mezclar el asarol con ácido sulfúrico concentrado se le agregó un reactivo oxidante: clorato de potasio, obteniéndose un color rojo; o

bien arseniato de sodio formándose color café rojizo (45).

Una solución acueto-alcohólica de asarol se trata con nitrito de sodio y reactivo de Denigès (sulfato mercurico en medio ácido) (44, p. 141), formándose una coloración amarilla y finalmente un precipitado amarillo.

Chikuma (46) indicó que una pequeña cantidad de un fenol produce coloraciones del verde al azul, por la adición de soluciones de nitroprusiato de sodio e hidroxilamina, en presencia de base. El asarol dio una coloración verde.

Los cambios de color producidos por el agua regia al actuar sobre los fenoles, fueron estudiados por Torti (47); el asarol, como era de esperar (48), se oxida a quinona (2,5-dimetoxi,1,4-benzoquinona), la cual se separa como un precipitado amarillo.

Al someter al asarol a condensaciones con aldehídos en medio sulfúrico (42, p. 160) se obtuvieron las siguientes coloraciones: rojo con el benzaldehido, salicilaldehido y piperonal; con la vainillina, rojo y verde.

El asarol produjo color violeta con la N,N-diethyl, p-fenileno-diamina (42, p. 218) en las condiciones indicadas.

Una solución etanólica de un fenol y xantidrol en medio acético forma una coloración característica, por la adición de ácido clorhídrico concentrado (49); el asarol da color verde. Esta es una reacción muy sensible para la identificación de fenoles. En la parte experimental se detallan las condiciones de reacción y los fenoles ensayados.

Con el 2,4,5-trimetoxifenol se prepararon los siguientes éteres: 1,2,4,5-tetrametoxibenceno (XXVII), 2,4,5-trimetoxi, 1-otoxibenceno (XXVIII), y 2-asarilexi,5-nitrobenzofenona (XXIX).

El éster metílico del asarol (XXVII) en su espectro de resonancia magnética nuclear, presenta un singulete en 3,67 τ con una integración de dos protones (2H aromáticos) y un singulete en 6,37 τ que integra para 12 protones (hidrógenos de los metoxilos).

En el espectro de resonancia magnética nuclear del éster etílico del asarol (XXVIII) aparece un singulete en 3,52 τ

con una integración para dos protones (2H aromáticos); un multiplete centrado en 6,04 T ($J=7$ c/s) y un singulete en 6,25 T, el primero corresponde al metíleno del etoxilo y el segundo a los metoxilos (integración total 11H). En 8,64 T hay un triplete ($J=7$ c/s) con una integración de 3H correspondientes al metilo del etoxilo.

Para la preparación del 2-asarilexi,5-nitrobenzofeno_{na} (XXIX) se obtuvo primeramente la 2-cloro,5-nitrobenzofenona (59), la cual presenta en su espectro de infrarrojo las siguientes bandas: en 1 670 cm^{-1} ($\text{C}=\text{O}$), en 1 540, 1 355 y 860 cm^{-1} (originadas por el grupo $-\text{NO}_2$) y una banda en 738 cm^{-1} correspondiente a la vibración C-Cl.

El compuesto obtenido de la reacción de la 2-cloro,5-nitrobenzofenona con el asarol, presenta en su espectro de infrarrojo las siguientes bandas: 1 670 cm^{-1} ($\text{C}=\text{O}$), en 2 820, 1 475, 1 445, 1 270 y 1 030 cm^{-1} (grupos metoxilo) y en 1 525, 1 350, 880 y 743 cm^{-1} (grupo nitro) (50).

Con el objeto de comparar el espectro de la benzofenona anterior con el de la 3,4-dimetoxibenzoferona, se preparó esta última, presentando bandas en 1 650 cm^{-1} (grupo $\text{C}=\text{O}$) y en 2 820, 1 470, 1 450, 1 225 y 1 015 cm^{-1} debidas a los grupos metoxi.

Del asarol se prepararon los siguientes ésteres: p-metoxibenzonato (p-anisoato), p-fenilazo benzoato, α -naftoato, metil sulfonato (mesilato) y m-nitrobencen sulfonato (XXXI - XXXV).

En el espectro de resonancia magnética nuclear del p-fenilazobenzoato de asarol (XXXII) se encuentran, de 1,5 a 2,8 T, señales con una integración de 9H (hidrógenos aromáticos del reactivo); dos singuletes en 4,81 y 4,72 T (1H cada uno, hidrógenos aromáticos del grupo asarilo). Los grupos metoxilo dan lugar a tres singuletes en la región de 7,88 T.

El α -naftoato del asarol en su espectro de R.M.N. presenta un multiplete centrado en 2,05 T que integra para 7H (hidrógenos del naftaleno); dos singuletes, en 3,24 y 3,39 T, con una integración de un protón cada uno (hidrógenos aromáticos

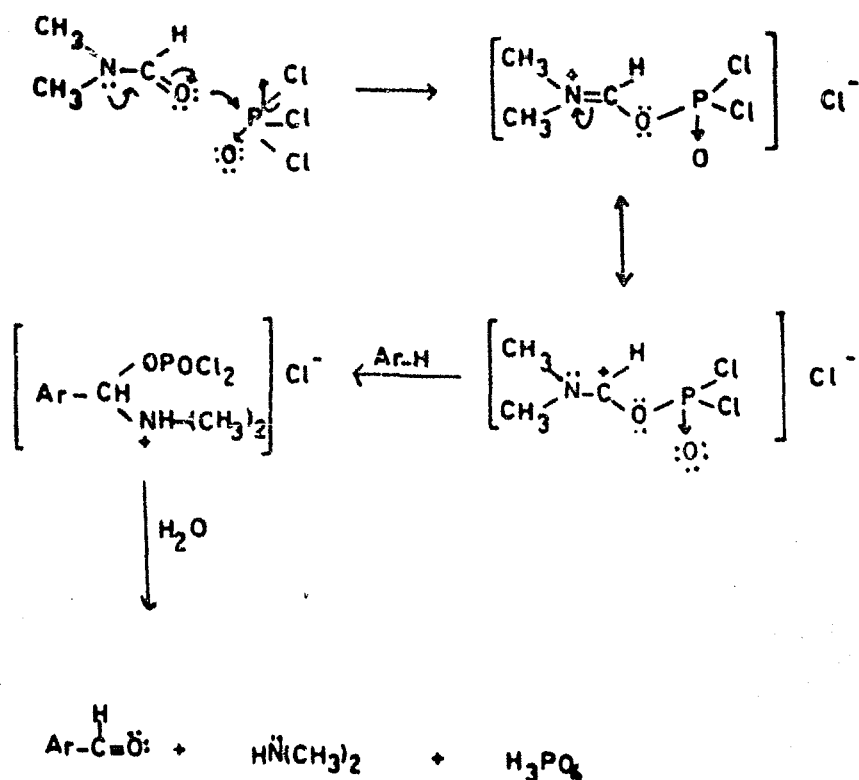
del grupo asarilo), y dos señales agudas en 6,12 y 6,17 τ (9H, tres metoxilos).

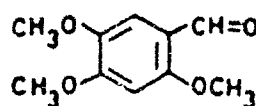
El espectro de E.M.R del m-nitrobencen sulfonato del asarol se encuentra en la tabla I.

TABLA I.
Datos de R.M.R del compuesto XXXV.

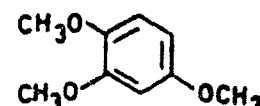
Señal en τ	Desdoblamiento Primario	Desdoblamiento Secundario	Integración	Ar-H
1,2	Singulete	Triplete	1	2
1,47	Doblete $J=8$ c/s	Cuadruplete	1	4
1,75	Doblete $J=8$ c/s	Triplete	1	6
2,25	Triplete $J=8$ c/s	—	1	5
3,12	Singulete	—	1	3'
3,55	Singulete	—	1	6'
6,14	Singulete	—	6	OCH_3 (2)
6,15	Singulete	—	3	OCH_3 (1)
6,49	Singulete	—		

Reacción de Vilsmeier.

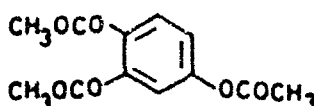




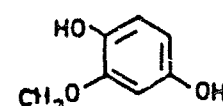
I



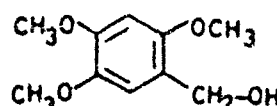
II



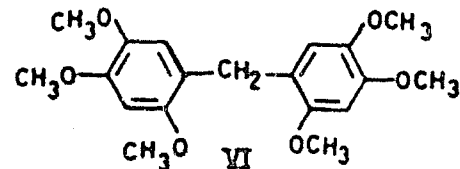
III



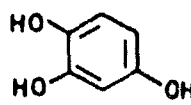
IV



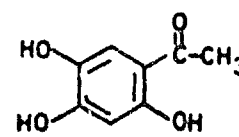
V



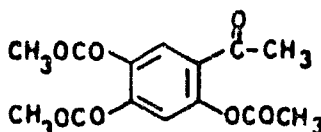
VI



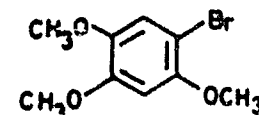
VII



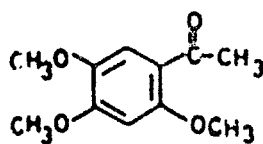
VIII



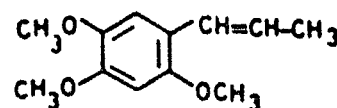
IX



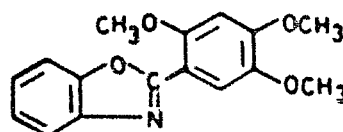
X



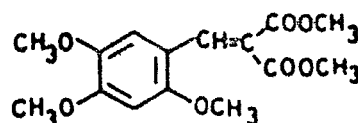
XI



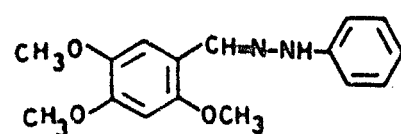
XII



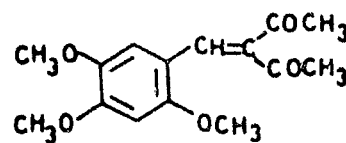
XIII



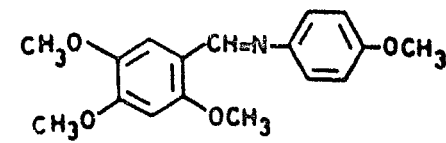
XIV



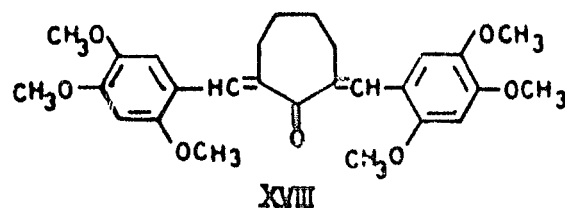
XV



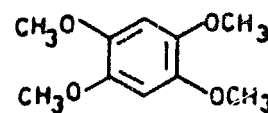
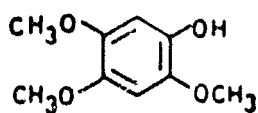
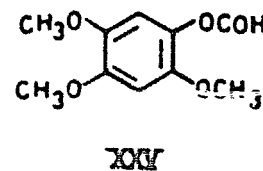
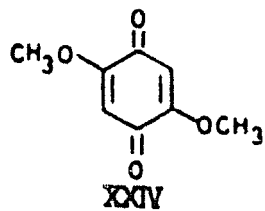
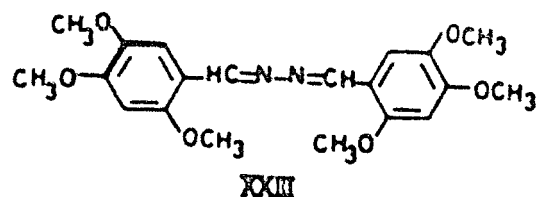
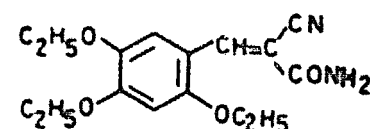
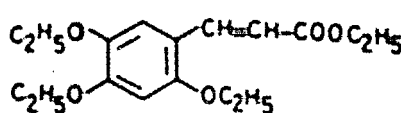
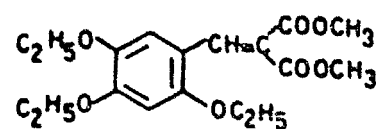
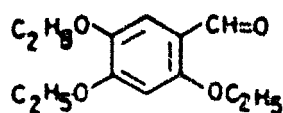
XVI

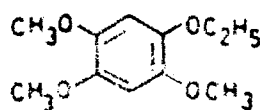


XVII

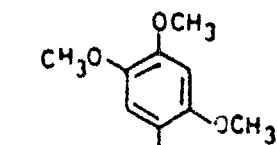


XVIII

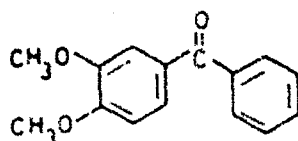




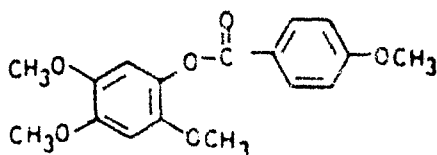
XXX



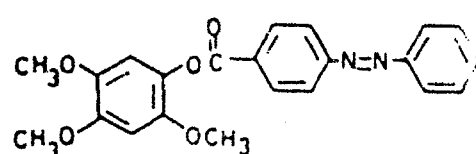
XXX



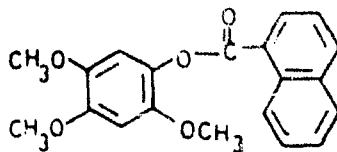
XXX



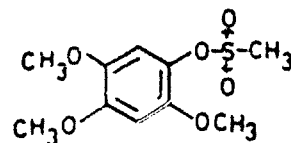
XXXI



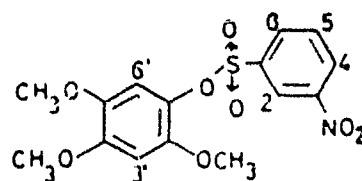
XXXII



XXXIII



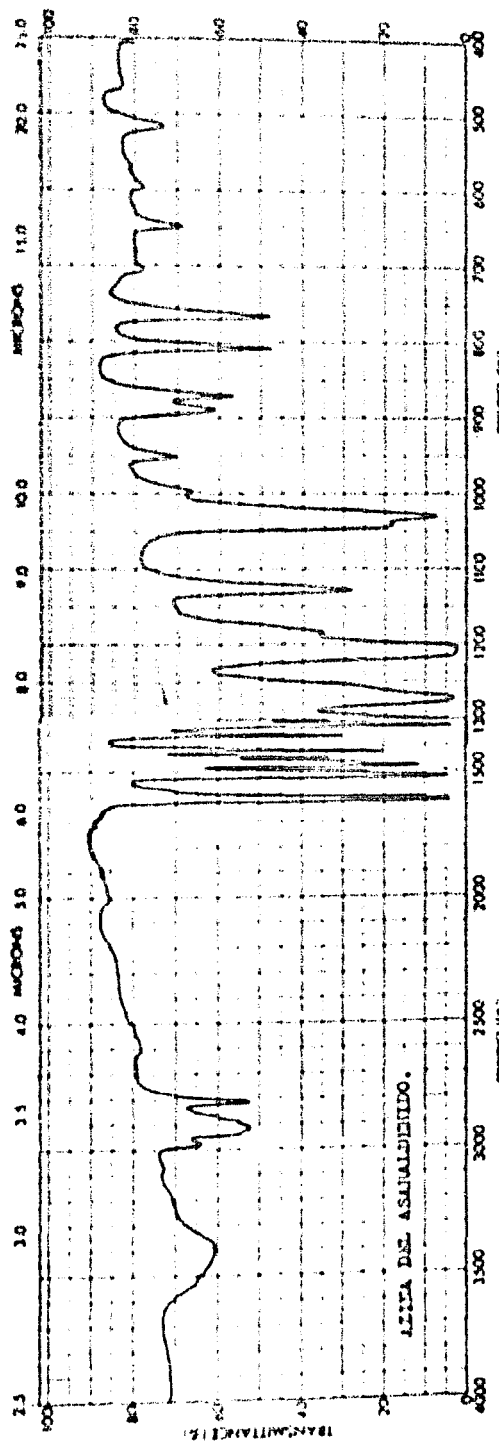
XXXIV

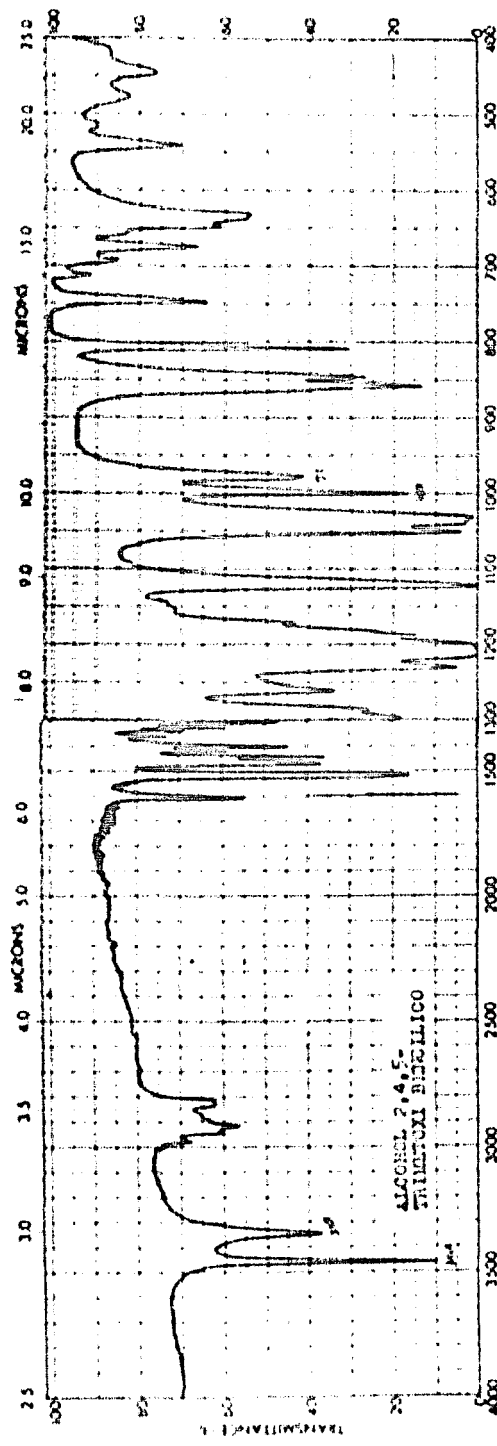


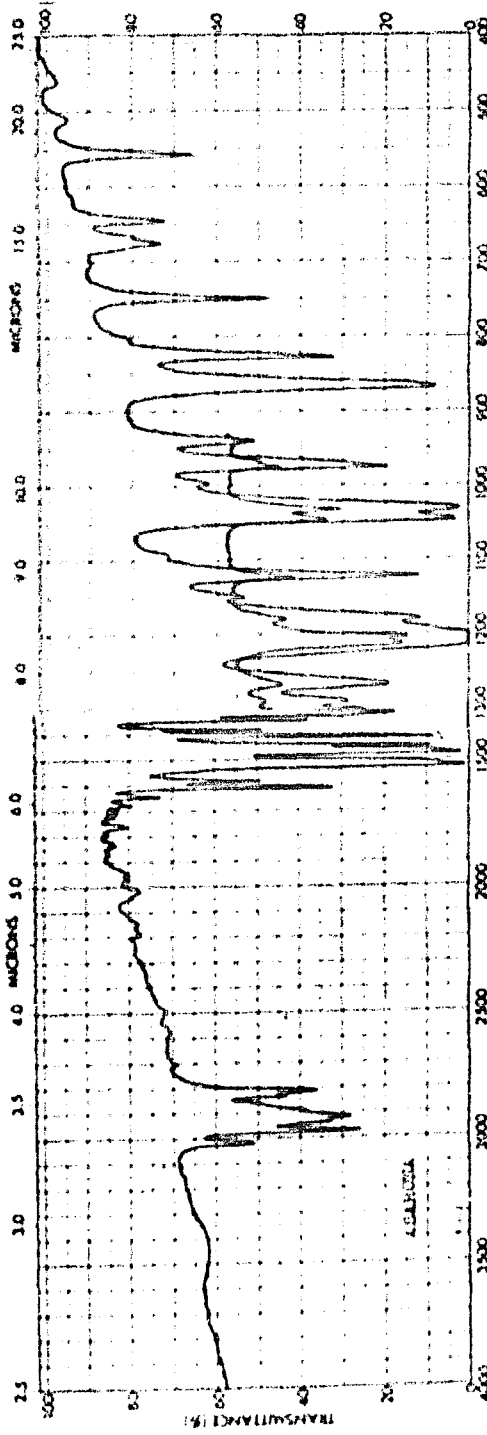
XXXV

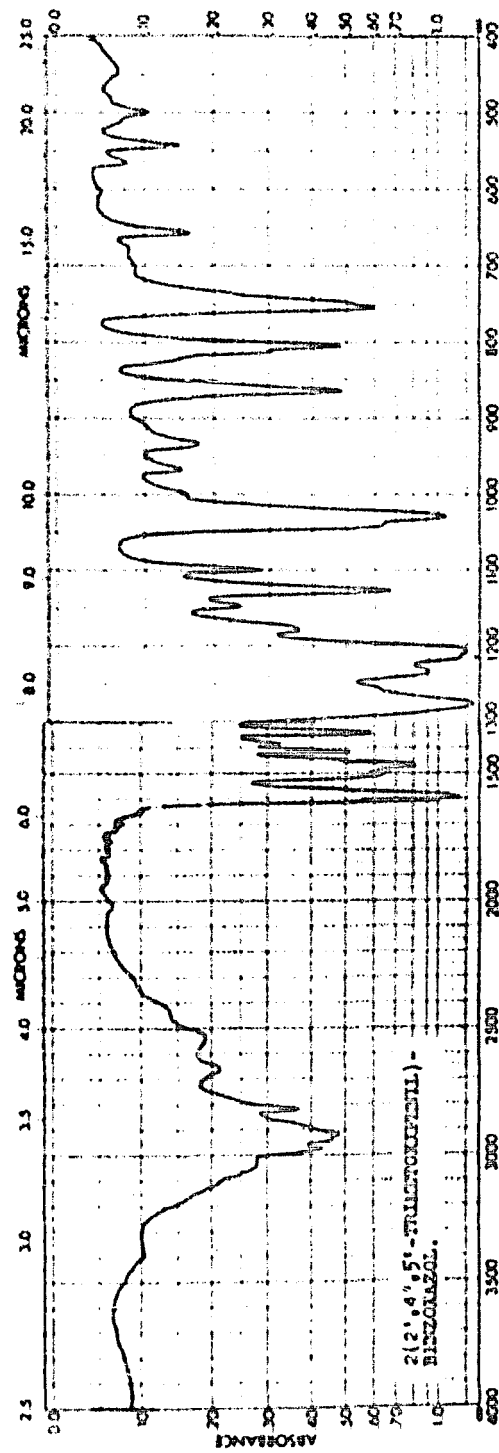
III

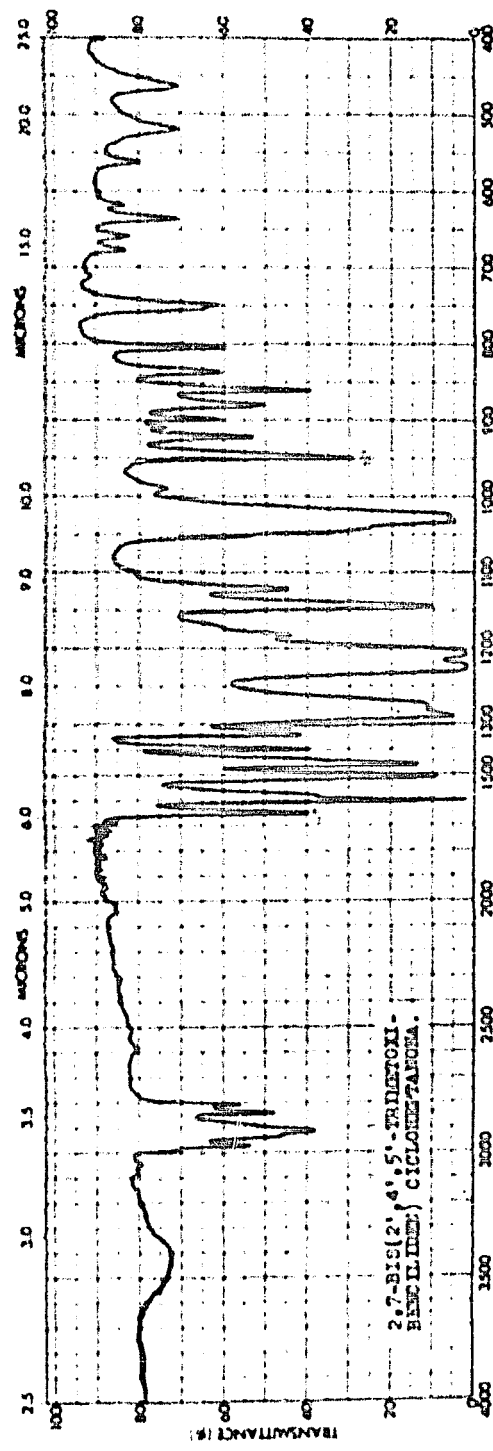
Espectrogramas.

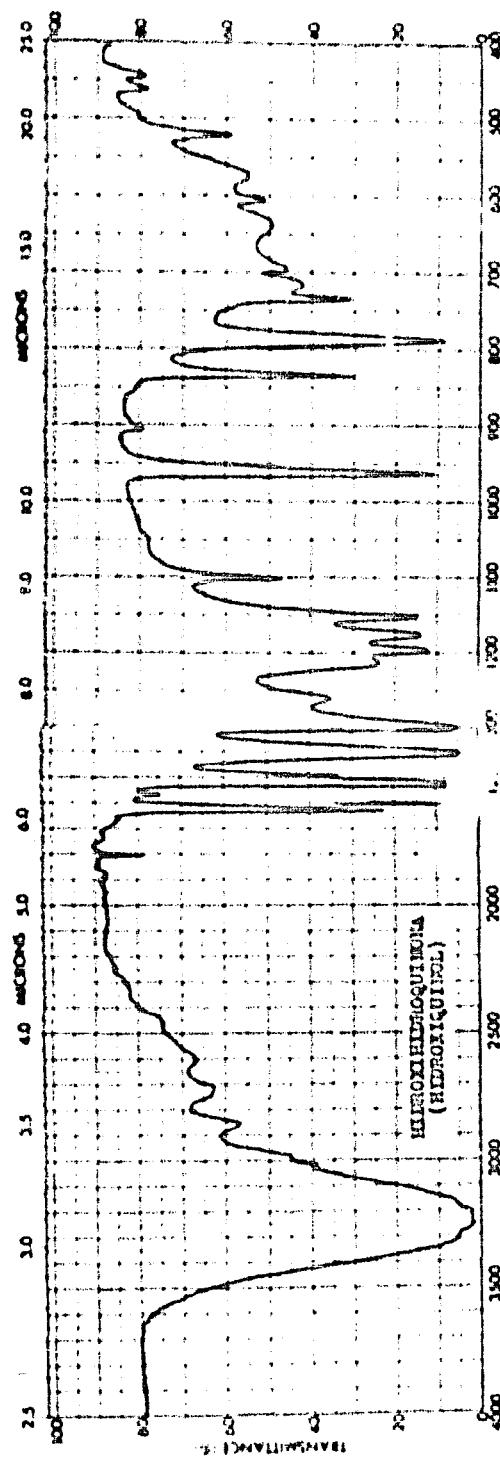


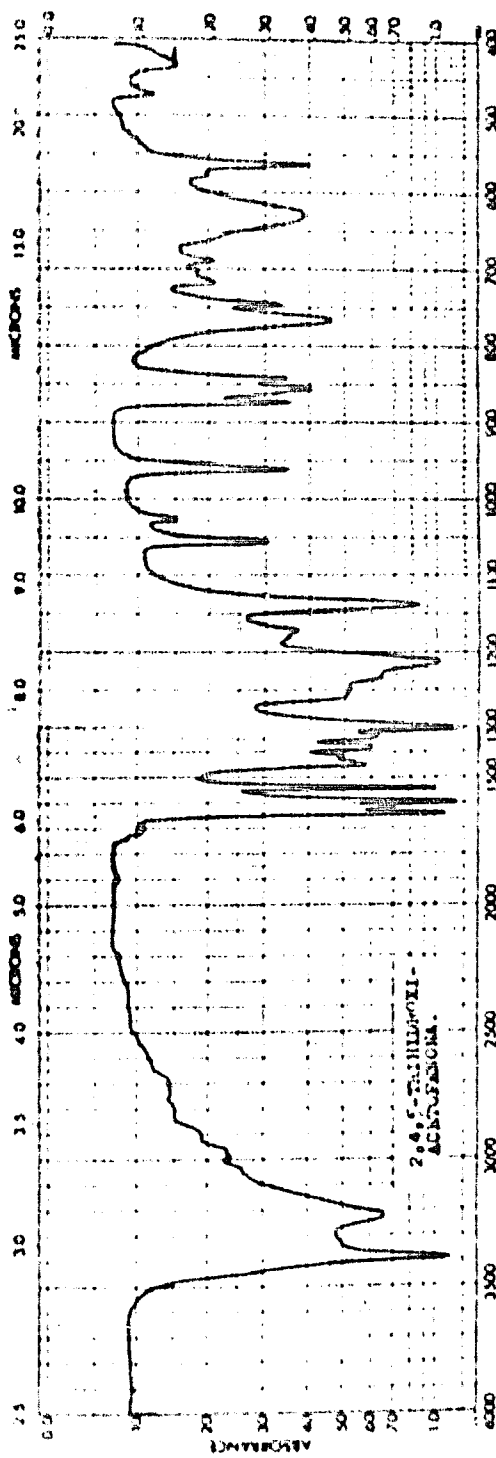


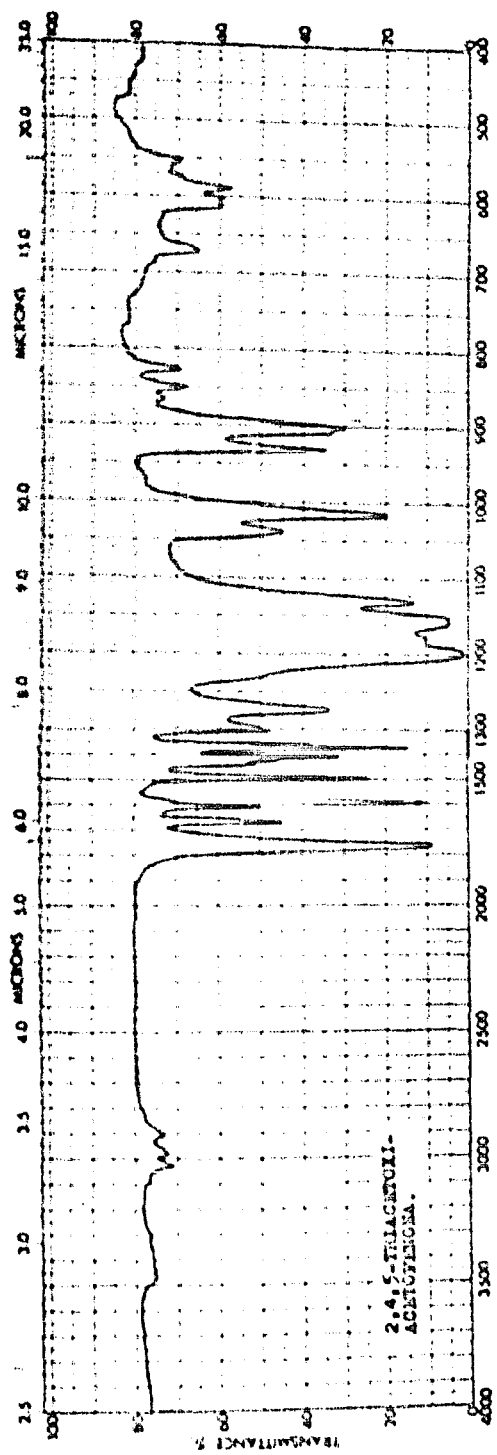


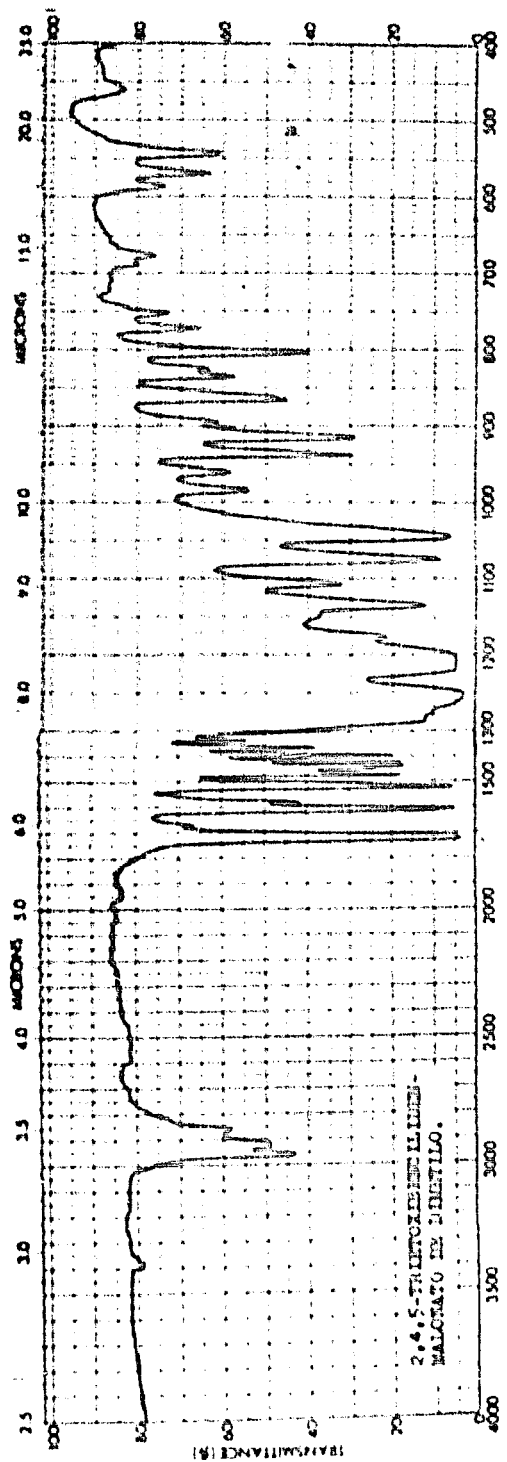


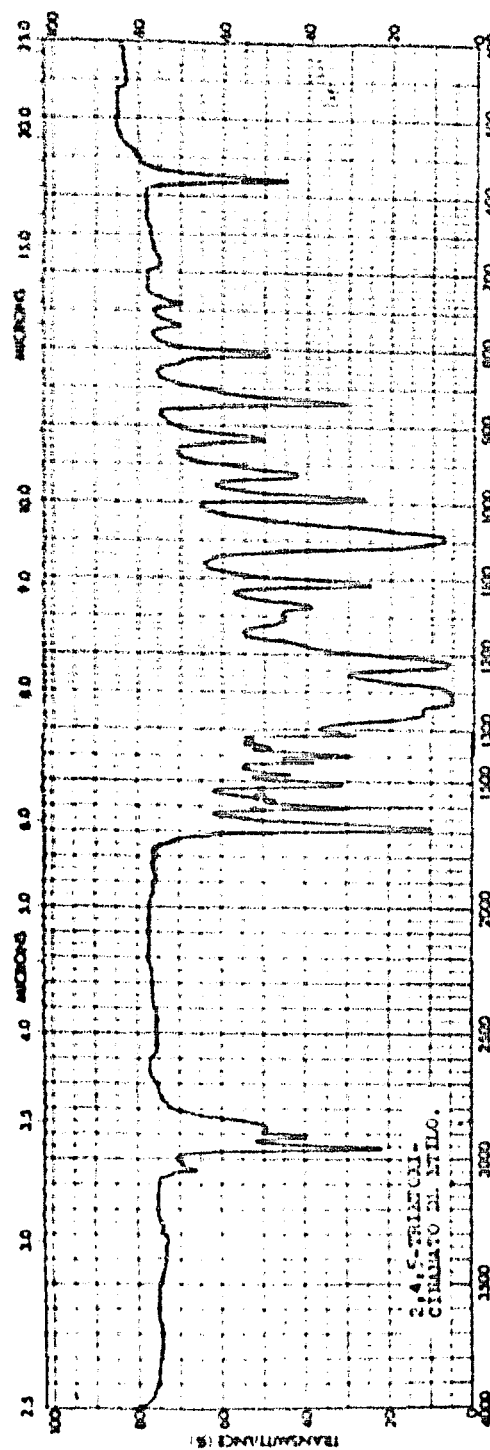


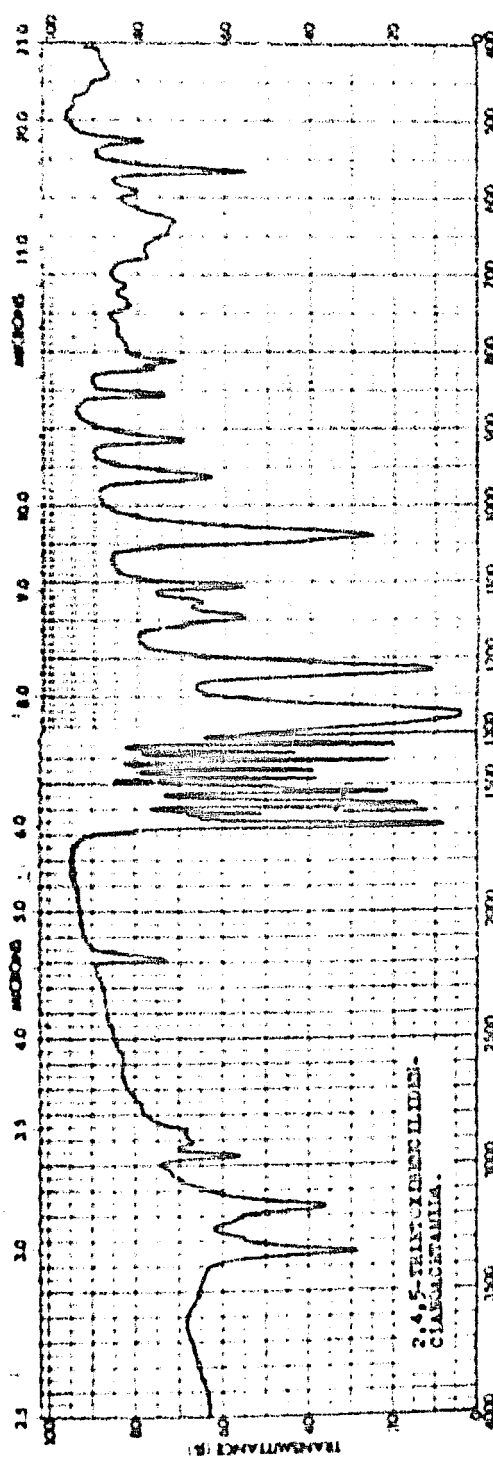


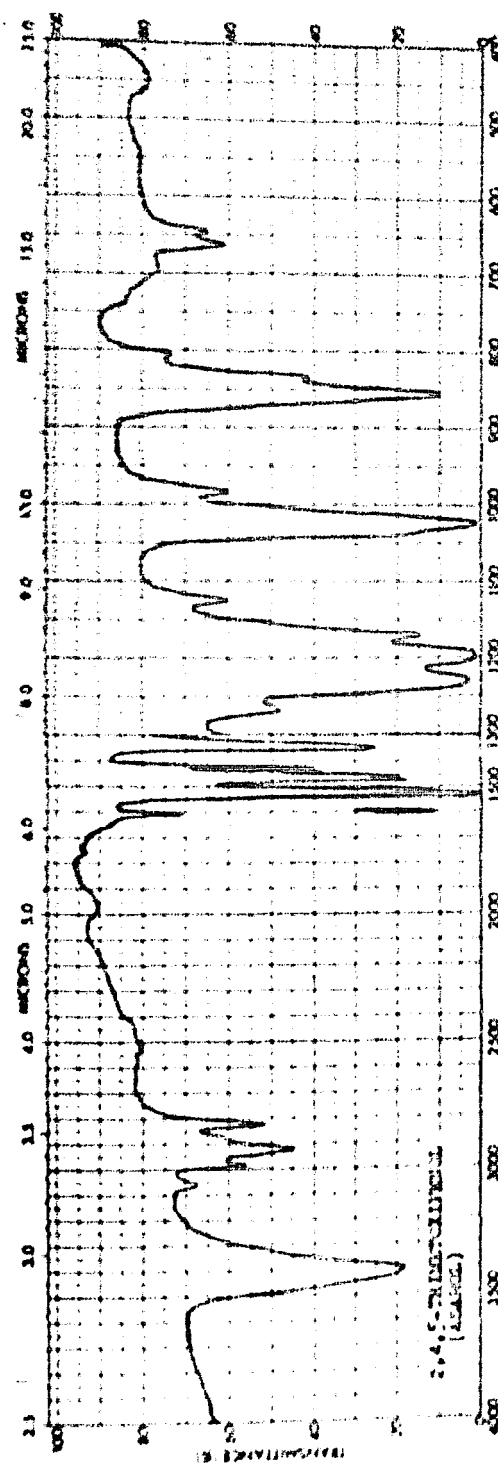


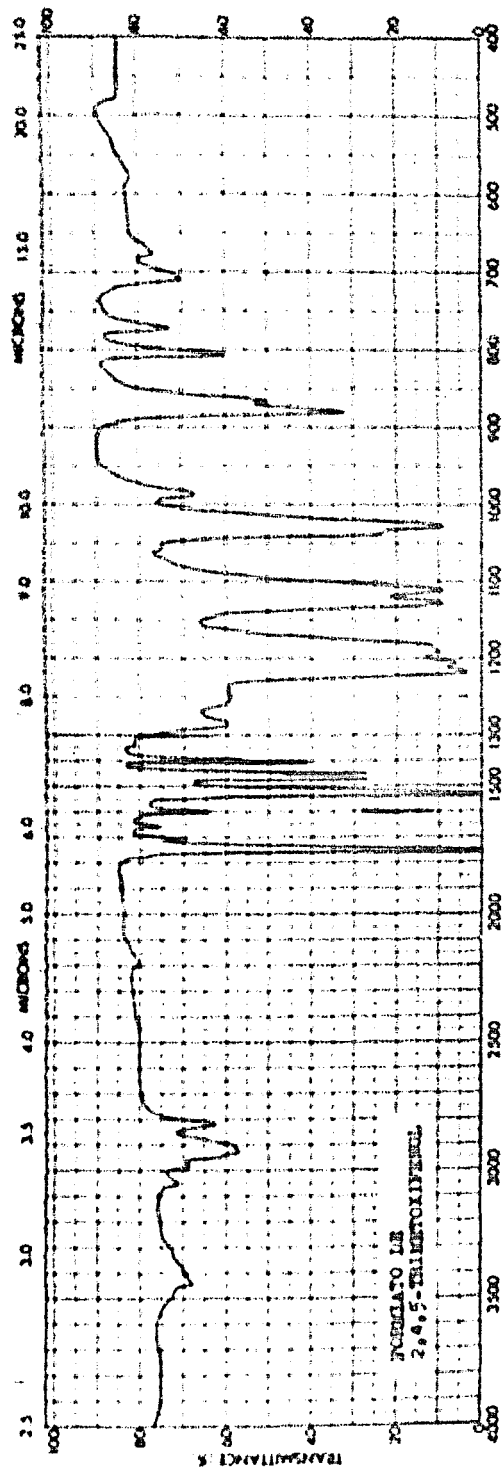




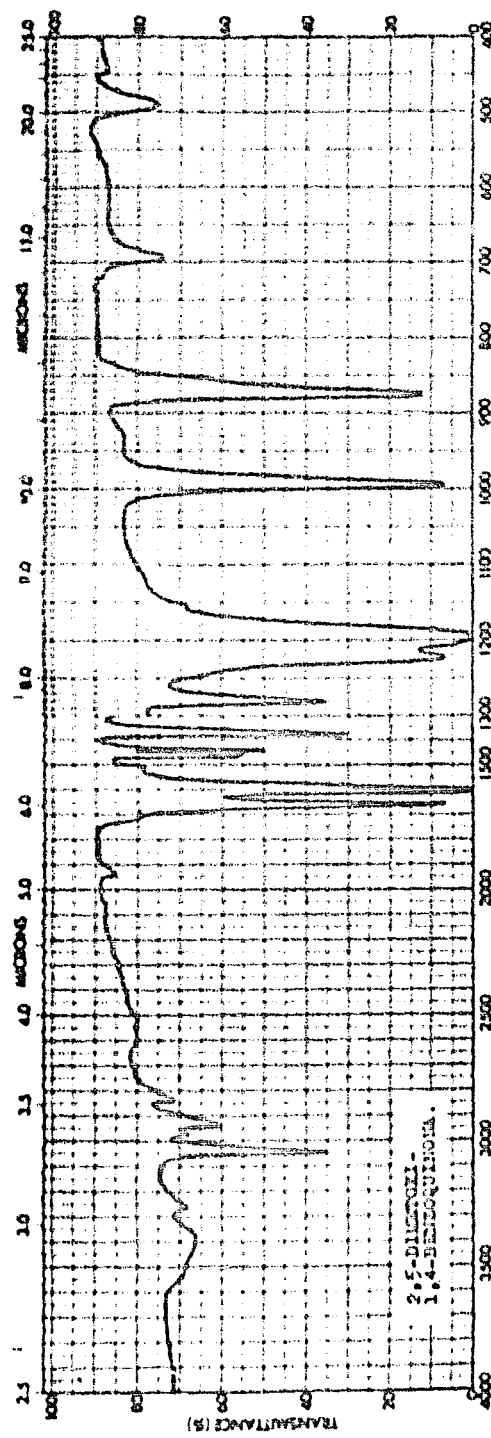


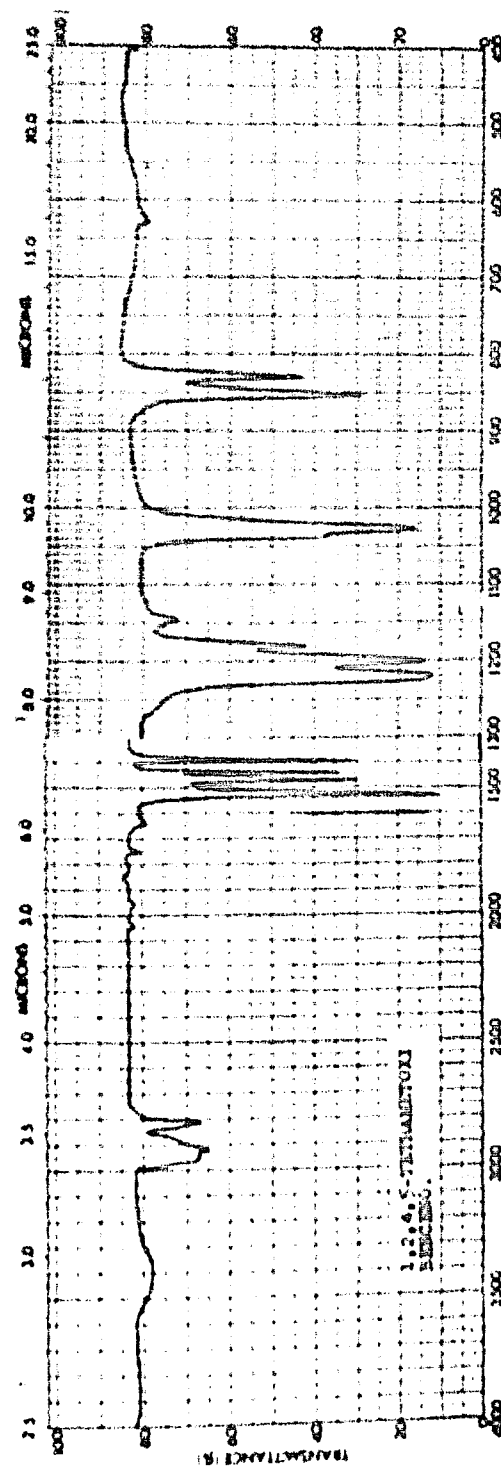




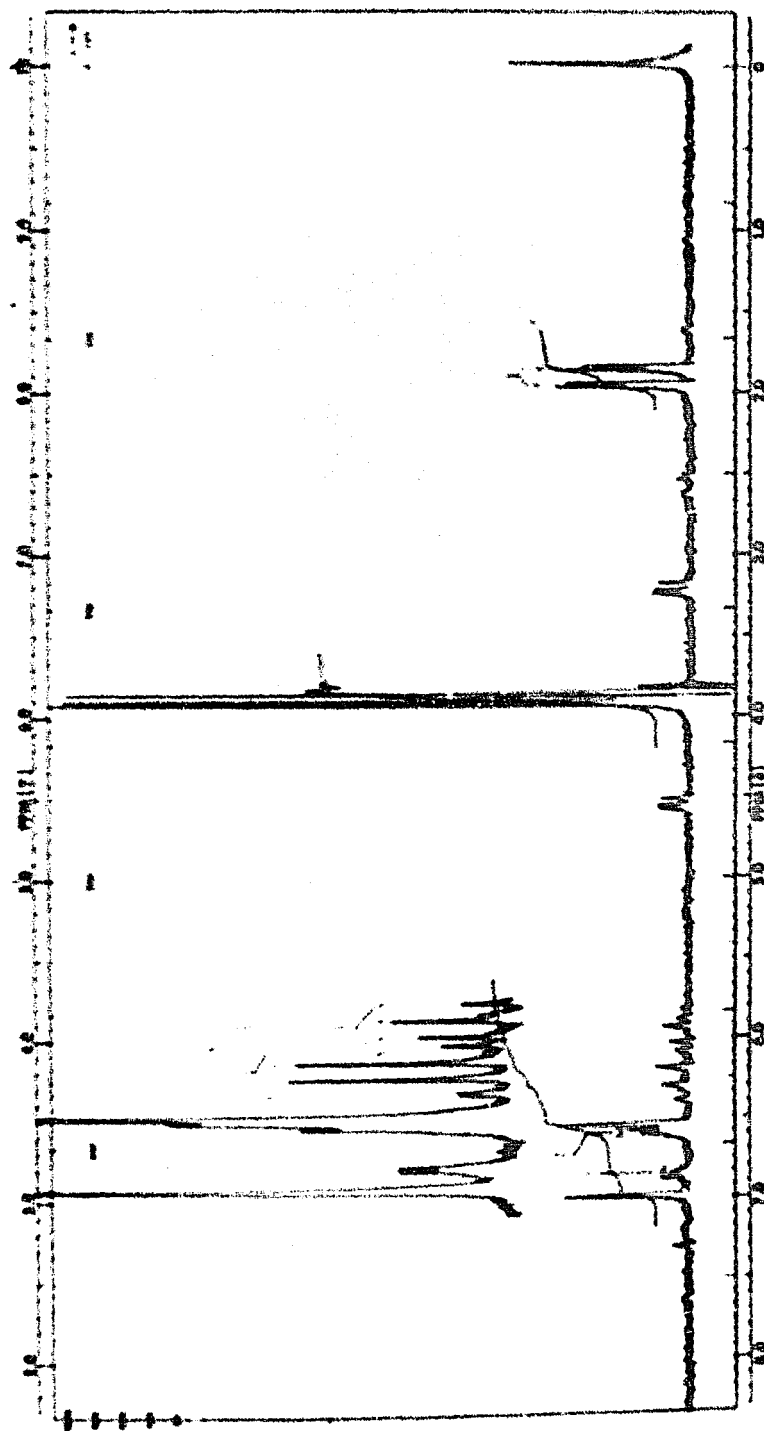


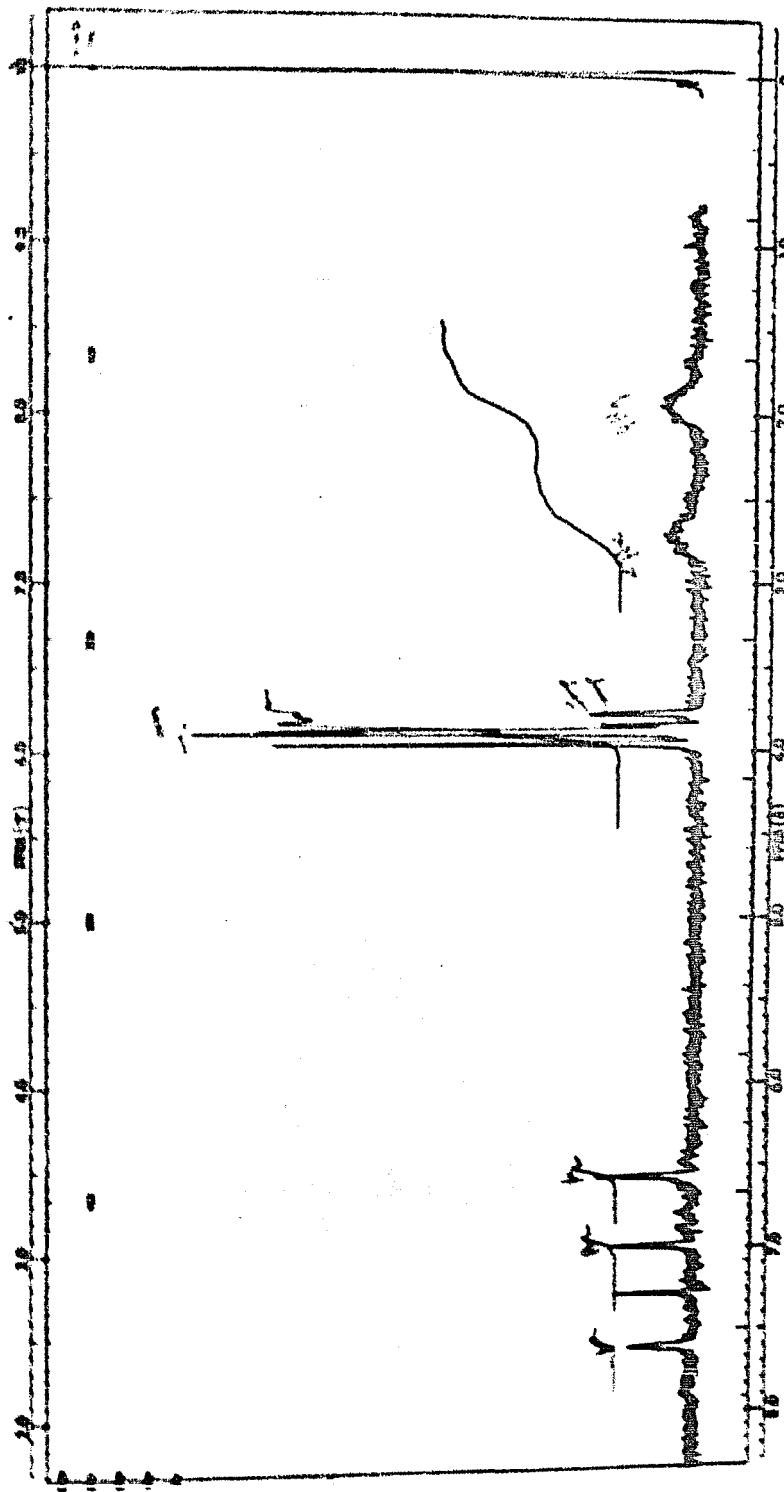
-30-





AGALIONA.

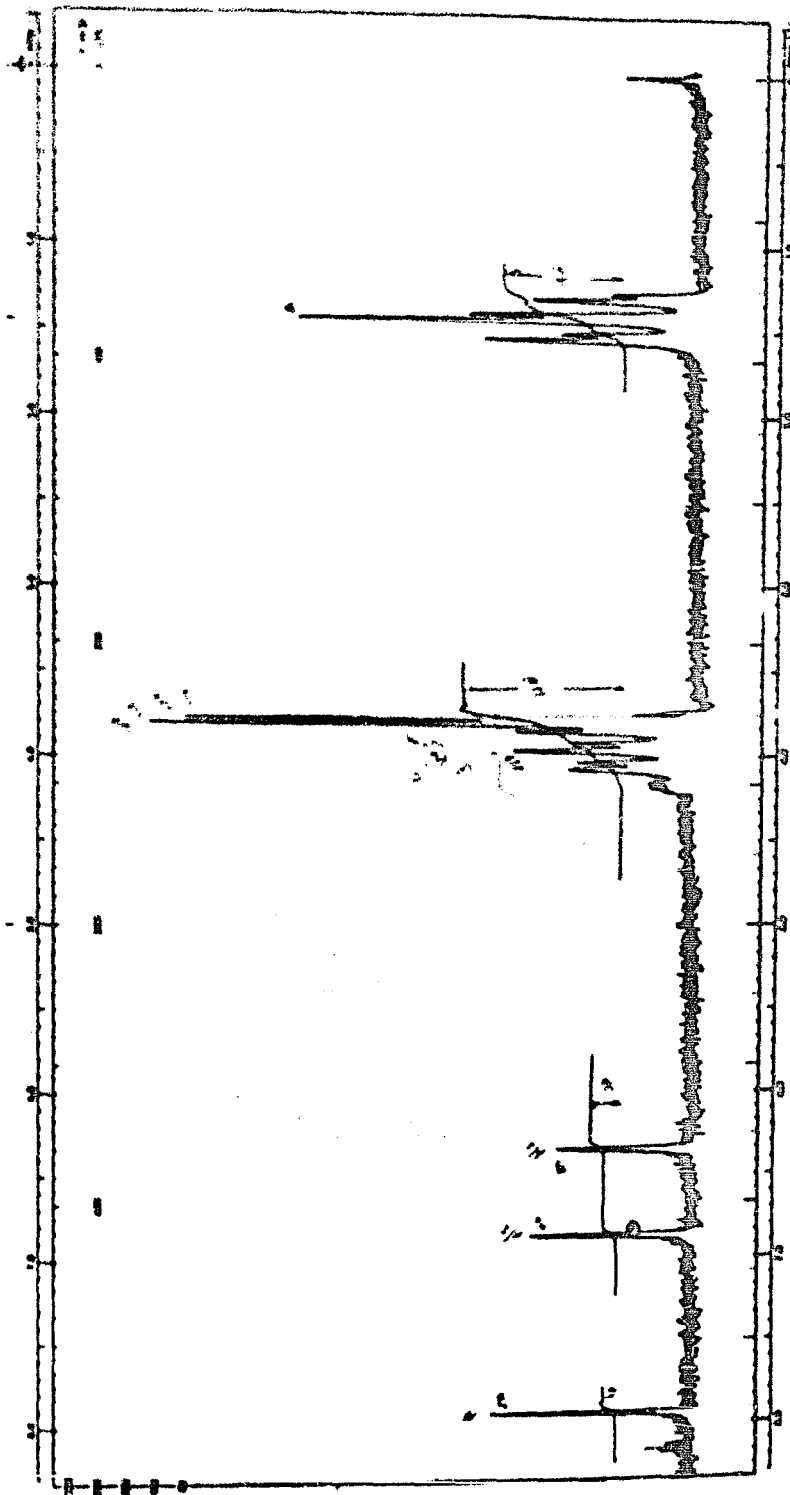


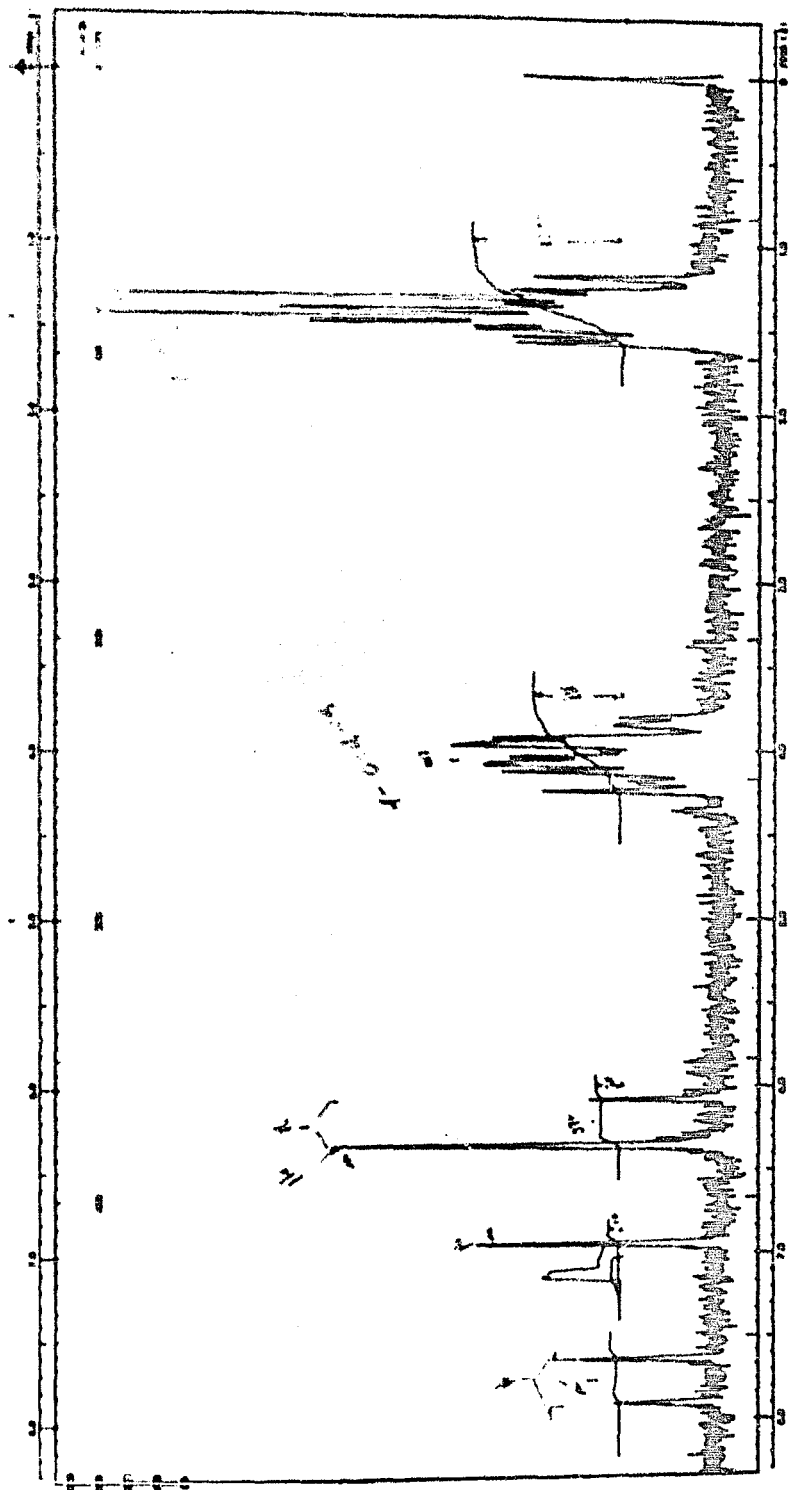


-34-

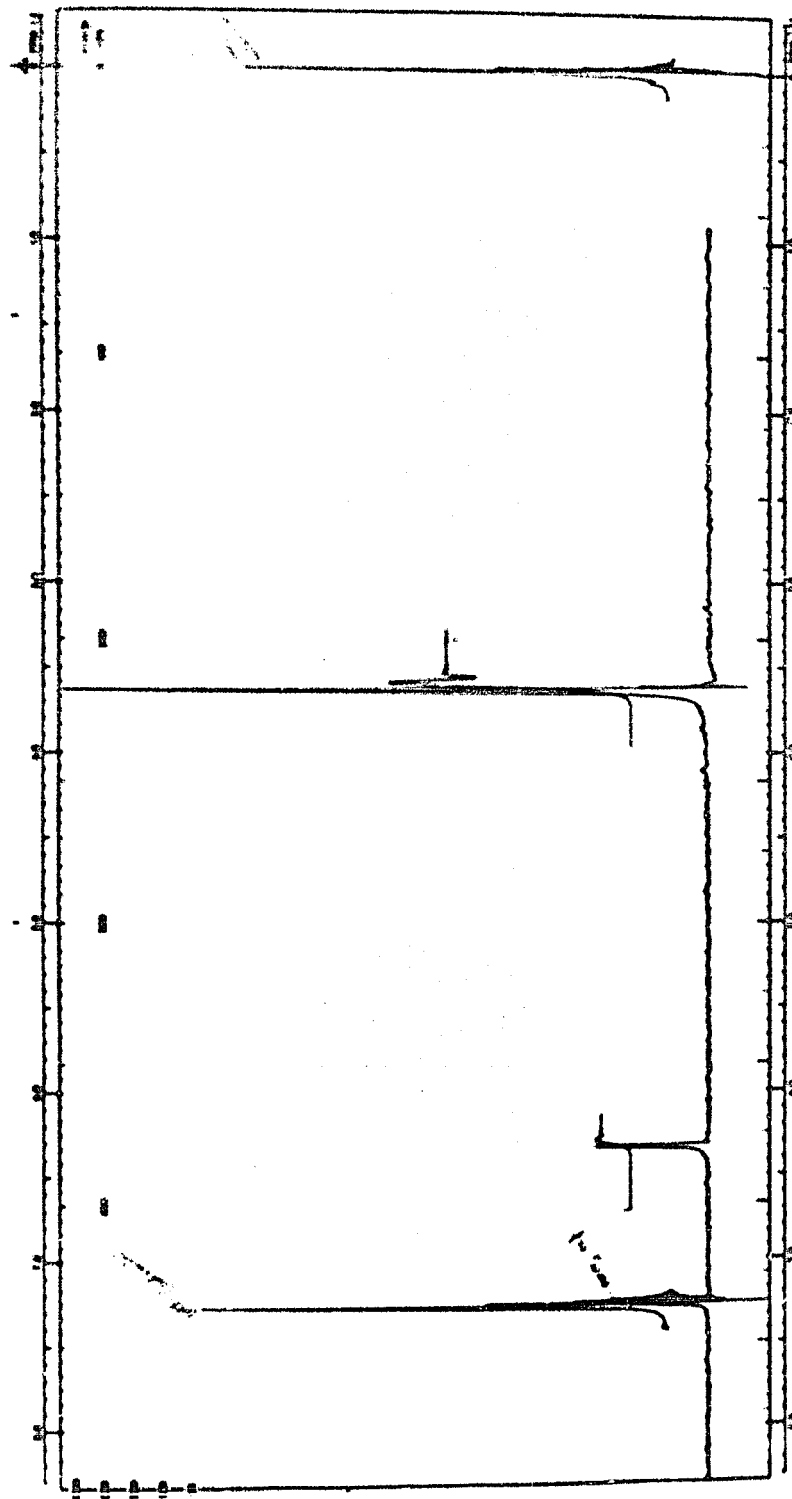
2,7-BIS(2',4',5'-TRIMETOXI-BISCYCLO[2.2.1]HEPTAN-2-YL) CICLOHEPTANONA.

2,4,5-TRIETOKIBENCILIDEN-MALONATO DE DIMETILO.





2,4,5-TRITOXO-CHELATO DE ETILO.



-37-

1,2,4,5-TETRAMUTOXI-BENCENO.

Parte Experimental.

Los espectros de infrarrojo se determinaron en un espectrofotómetro Perkin-Elmer 337 de doble haz, en pastilla de KBr. Los espectros de resonancia magnética nuclear se determinaron en un espectrómetro Varian A-60, en CDCl_3 , utilizando tetrametil silano como referencia interna. Los microanalisis los efectúo el Dr. A. Bernhardt, Max Planck Institut, Mülheim (Ruhr, Alemania).

1,2,4-Triacetoxi-*p*-benzeno (III).- (Triacetato de hidroxibis(p-benzeno)). Se añaden 0,5 ml de ácido sulfúrico concentrado a 167 ml de anhídrido acético, en un vaso de 600 ml. Después se añaden gradualmente y en pequeñas porciones, con constante agitación 40 g de *p*-benzoquinona (se utilizó *p*-benzoquinona práctica de Matheson Coleman & Bell). La temperatura se eleva. Cuando la mezcla alcanza 45° se sumerge en un baño de agua (el enfriamiento se hace utilizando alternativamente agua fría y agua). La temperatura debe mantenerse entre 40-60° durante la adición de la quinona, influyendo la velocidad de adición de ésta en el control de la temperatura. La reacción transcurre bien y no desarrolla una cantidad de calor excesiva. Se debe evitar rozar las paredes del vaso durante la adición de quinona, ya que se cristalizaría una masa compacta y el resto de la quinona no reaccionaría como es debido. Después de añadir toda la quinona se deja enfriar la mezcla hasta alrededor de 20°, temperatura en que se rascan las paredes del vaso, con lo que se promueve la cristalización brusca del triacetato que forma una masa compacta.

Se vierte la mezcla sobre 500 ml de agua destilada a la que no le han añadido unos pedazos de hielo. Se agita para deshacer los grumos grandes y se filtra por succión. La sustancia, todavía húmeda, se disuelve en 250 ml de etanol de 96° en ebullición, con lo que se obtiene una solución de color ro

je oscuro. Al enfriarse la solución cristaliza el triacetato y se filtra. La sustancia queda de color blanco. El producto se distribuye en cajitas Petri y se seca en un desecador sobre CaCl_2 , pero debe usarse en pocos días ya que se descompone. Rendimiento 110 g, p.p.- 27° .

Para el siguiente paso se puede utilizar el producto ligeramente suñado. Evítense el contacto con la piel.

1,2,4-trimetoxi-benceno (II). - 100 g de triacetato de hidroxialfiquinona se suspenden en 240 ml de metanol, en un matraz Kriensmeyer de 4 l, y a la suspensión se añaden 420 ml de sulfato de dimetilo, agitando la mezcla hasta total disolución del triacetato. Se pone el matraz que contiene la solución en un baño de hielo y una vez fría, se añade en pequeñas porciones y agitando a mano una disolución obtenida a partir de 360 g de NaOH y 360 ml de agua. A medida que se añade la soda, la mezcla reacciona fuertemente por lo que se impone la agitación. Terminada la adición se seca se deja reposar la mezcla durante 30 min y luego se diluye con 1 200 ml de agua, separándose en la parte superior una capa oleosa. Se extrae ésta con éter y después de dos extracciones (se lava el éter con agua, hasta que no sea reacción alcalina) se seca con sulfato de sodio, se filtra y se evapora el disolvente. El residuo de la evaporación se destila. La primera fracción pasó entre 220 y 234° , pasando casi todo el producto a 234° ($245^\circ/760 \text{ mm Hg}$). El rendimiento fue de 64 g de líquido casi incoloro que al cabo de algún tiempo de permanecer guardado en frasco émbar se colorea ligeramente.

1,2,4-trimetoxi-benzaldehido (I).-(Asaraldohido).

En un matraz redondo de dos bocas y 500 ml se colocaron 60 g de 1,2,4-trimetoxibenceno y 12 ml de N,N-dimetilformamida y se enfrió en hielo.

A 32 ml de N,N-dimetilformamida, enfriados en hielo, se agregan poco a poco 36 ml de cloruro de fósforo. La solución roja resultante se deja a temperatura ambiente, se

vuelve a enfriar en hielo y se agrega al matraz redondo. En la boca central se usa un refrigerante que lleva un tubo de cloruro de calcio en la parte superior; en la boca lateral va un adaptador que permite colocar un termómetro para tomar la temperatura de la mezcla de reacción. Se deja calentar a temperatura ambiente y se calienta poco a poco hasta 90-100° (se emplean dos termómetros, uno en el bano y otro en el seno de la reacción). Despues de 4 1/2 h a 90-100°, la mezcla de reacción se enfria a temperatura ambiente y se le agrega poco a poco y agitando una solución fría de 120 g de acetato de sodio anhidrido en 10 ml de agua, monitorizando la reacción en un baño de hielo. El amaraldehido se obtiene como un sólido microcristalino de color blanco. Se filtra al vacío y se lava con agua helada hasta que el agua de lavado sea incolora. El sólido se cristaliza disolviéndole en 100-150 ml de alcohol hirviendo y agregando un volumen igual de agua caliente. Al enfriar cristaliza en forma de agujas selenas blancas que funden a 114°. Rendimiento, 64 g. La inodoro, no se oxida al aire y la fluorescencia a cui a la luz ultra violeta. Es soluble en ácido sulfúrico concentrado, ácido fosfórico al 95% y ácido perclórico al 72%, formándose soluciones amarillas.

Azina del amaraldehido (XXIII).— A una solución de 9,8 g de amaraldehido en 50 ml de alcohol etílico, se le agregaron 1,25 ml de hidrato de miricina y se calentó la mezcla de reacción hasta total cristalización de la azina. El sólido obtenido se filtra por succión. Rendimiento 7,3 g de azina con p.f.= 270-272°. En su espectro de infrarrojo presenta una banda en 1620 cm^{-1} correspondiente a la vibración de alargamiento del grupo $-\text{C}=\text{N}-$ y no aparece la banda en 1660 cm^{-1} del grupo carbonilo aldehídico del aldehido original.

Alcohol 2,4,5-trimetoxi-bencílico (V).— (Alcohol amorfílico). A 2 g de amaraldehido suspendidos en 8 ml de metanol se agregaron, en pequeñas porciones, 150 mg de borhidru-

ro de sodio. Se observó un ligero calentamiento y la desaparición del color amarillo verdoso formado inicialmente. Terminada la reacción, se diluyó con 150 ml de éter etílico. Se rompió el complejo y se tituló la alcalinidad lavando (3 X 22 ml) con una solución salina preparada a partir de 18 g de cloruro de sodio y 96 ml de agua. La fase ésterica se secó con sulfato de sodio anhidro, se concentró y sustituyó por benceno. Por cristalización de benceno-hexano se obtuvieron 1,7 g de sólido blanco, en forma de placas, con p.f.= 67-9°. Conviene con el descrito (I). Con ácido sulfídrico concentrado da color verde amarillento que pasa a verde. $\nu_{\text{max}}(\text{KBr})$ 3 460, 3 350, 1 320, 1 060 y 975 cm^{-1} .

En otro experimento en el cual se utilizó menos éter y agua en vez de solución salina, el alcohol quedó en la fase acuosa.

Agidación del alcohol amorfílico con tetracetato de plomo. 1,5 g de alcohol amorfílico se disolvieron en 37 ml de piridina y se añadieron 3,4 g de tetracetato de plomo (pulverizado). La mezcla, de color rojo oscuro, se mantuvo a temperatura ambiente y con agitación magnética durante 10 h. La mezcla de reacción se evapó a sequedad (Rotavapor "R", Büchi) y se le agregó agua. Se filtró el sólido obtenido (1,25 g), se disolvió en metanol, se filtró y recristalizó de metanol-agua. Se obtuvo 1 g de amaraldehído con p.f.= 113-114°.

1,2,4-trietoxi- α -propenil-benceno (XII).-(Asaronal). Una mezcla de 4 g de amaraldehido, 7 ml de anhídrido propiónico y dos ramas de propionato de sodio se calentó a 160° (refrigerante a reflujo) durante 9 h (evolución de CO_2). La mezcla de reacción se arrastró con vapor de agua (la asaronal pasa en el destilado). La cabeza de destilación (50 ml) pasa transparente y tiene un fuerte olor de ácido propiónico. Cuando el destilado se pasó a agua turbia se recogió en un matraz diferente (70 ml). Se neutralizaron las fracciones con carbonato.

sato potásico sólido (casi todo el ácido propiónico se encuentra en la primera). Se destilaron a continuación alrededor de 1 200 ml de agua conteniendo pequeñas gotas de aceite casi incoloro, el cual solubilificó (unas fracciones espontáneamente y otras al enfriar en el refrigerador). Se filtró el sólido, se disolvió en benceno, el cual se evaporó, sustituyéndole por hexano. La cristalización ocurrió enfriando el matraz y tallandolo con una varilla de vidrio, después de haber evaporado casi todo el hexano. Al sólido blanco, prácticamente sin aguas madre, se le agregó pentano y se filtró. Se obtuvieron 700 mg de prismas duros con p.f.= 60-1°. Descripto (51) 60-1°. El pentano dejó al evaporarse un pequeño residuo sólido acompañado de algo de aceite amarillo. $\nu_{\text{max}}(\text{KBr})$ 1 410, 1 380 y 970 cm^{-1} .

2(2',4',5'-trimetoxifenil)bencozuelo (XII). - 2 g de aldehído anarílico y 1 g de *o*-amino fenol en 5 ml de nitrobenzeno y 10 ml de benceno se refluxaron durante 2 h a través de una trampa de Dean-Stark. Terminado el calentamiento, la mezcla de reacción se enfría en hielo, cristalizando un sólido anaranjado. Se filtró y recristalizó de etanol. P.f.= 162-3°. El producto se recristalizó de clorofórmico-ethanol, obteniéndose en forma de prismas amarillos (1,0 g) con igual p.f. Calc. para $C_{16}\text{H}_{15}\text{O}_4\text{N}$: C, 67,36; H, 5,30; O, 42,43; N, 4,91. Encontrado: C, 67,22; H, 5,09; O, 42,43; N, 5,16. Presenta fluorescencia blanca en luz ultra violeta.

2,4,5-trimetoxibenciliden malonato de dietilo (XIV). - A una mezcla de 10 g de anaraldehido, 0,5 ml de malonato de dimetilo y 10 ml de benceno se añadieron 0,2 ml de piperidina o igual cantidad de ácido acético y se refluxó durante 11 h a través de una trampa de Dean-Stark. Véase (52 y 53). El producto de reacción cristalizó al enfriar. Se agregó hexano y filtró. P.f.= 110-12°. Rend. 15,066 g. No dif depresión del p.f. al mezclarlo con una muestra de p.f.= 102-3° (35). Una pequeña cantidad se recristalizó de benceno-hexano, filtrando una pequeña par-

te inacabable en benceno, cristalizando en forma de prismas aciculares con p.f.= 104-2°. Muestra fluorescencia amarilla a la luz ultra violeta.

Reacción del 2,4,5-trimetoxibenciliden galonato de metilo con fenilhidracina. - Se disolvieron, calentando, 1,55 g de 2,4,5-trimetoxibenciliden galonato de metilo en 10 ml de benceno y se añadió 0,5 ml de fenilhidracina. La mezcla de reacción se mantuvo a reflugio por espacio de 1 1/2 h. Se cristalizó de benceno-heptano y recristalizó de etanol. Se obtuvieron 1,25 g en forma de prismas blancos con p.f.= 121-3°. No hubo depresión del p.f. al mezclar el producto con la fenilhidra zona del anaraldeido.

Fenilhidrazona del anaraldeido (XV). - A una solución de 1 g de anaraldeido en 10 ml de etanol caliente se agregaron 0,55 ml de fenilhidracina y 4 gotas de ácido acético. La mezcla de reacción se refluyó unos minutos, se concentró y cristalizó un sólido blanco (1,32 g) en forma de prismas planos, incoloros, con p.f.= 141-2°. $\nu_{\text{max}}(\text{NMR})$ 3 290 cm^{-1} . Calc. para $\text{C}_{16}\text{H}_{18}\text{O}_3\text{N}_2$: C, 67,12; H, 6,34; O, 16,76; N, 9,76. Encontrado: C, 66,95; H, 6,42; O, 16,52; N, 9,92. Presenta fluorescencia blanca en luz ultra violeta.

Reacción de la 2,4,5-trimetoxibenciliden acetilacetona con p-anisidina (XVII). - A 1,4 g de la dicetona disueltos en 25 ml de etanol se añadieron 0,5 mg de p-anisidina en 5 ml de etanol. La mezcla de reacción se calentó a reflugio durante 1 h, y se dejó reposar durante la noche. Al concentrar la solución cristalizaron 350 mg de agujas amarillo pálido con p.f.= 131°. No hubo depresión del p.f. al mezclar el sólido con N-2,4,5-trimetoxibenciliden p-anisidina, XVII (30). De las agujas madre de la reacción se aislaron 300 mg de una mezcla que funde entre 105-125°. El compuesto XVII en luz ultra violeta, muestra fluorescencia blanca.

3,7bis(1',4',7'-triacetoxibenciliden)cicloheptanona (VIII).- Una mezcla de 1 g de asaraldehido y 0,5 ml de cicloheptanona se calentó, en un bátraz tapado, a 150° hasta fusión y disolución del clorhidrato. A la mezcla hirviéndola se le añadieron 2 gotas de ácido clorhídrico concentrado y se dejó unos minutos. Se dejó enfriar y se agregó metanol, cristalizando el producto de condensación, amarillo, con p.f.= 197-200°. ν_{max} (KBr) 1 650 y 910 cm^{-1} . cf. (54). Calc. para C₂₇H₃₂O₇: C, 69,21; H, 6,08; O, 23,90. Encuentrados: C, 69,43; H, 6,75; O, 23,66. Presenta fluorescencia naranja a la luz ultra violeta.

1,4-trihidroxibenzeno (VII).- (Biotroxihidroquinona). Una mezcla de 50 g de 1,2,4-triacetoxibenzeno, 100 ml de alcohol metílico y 10 ml de ácido clorhídrico concentrado se calentó a reflujo; y en la h. y a continuación se destiló a presión reducida (Rotavapor "R", Iichi), con trampa de hielo seco. La mezcla de reacción toma color café y la biotroxihidroquinona se separa en forma de pequeñas cristales de color azul-verde. El producto obtenido se filtra por succión, se coloca en una caja Facci y se guarda en un desecador con CaCl₂ anhidro. Debe protegerse del contacto con la luz. Este compuesto debe utilizarse en 1 ó 2 días después de su preparación, porque se descompone (55). El rendimiento fue de 20 g con p.f.= 130-140° (56). ν_{max} (KBr) 3 250, 1 400, 1 310 y 1 190 cm^{-1} .

Transposición de Fries con 1,4-triacetoxibenzeno (VIII).- 20 g del derivado triacetilado fueron disueltos en 100 ml de nitrobenzeno y, enfriado en hielo, se agregaron 12 g de AlCl₃ anhidro, en pequeñas porciones, durante 40 min. Se utilizó un bátraz Arlenleyer de 500 ml, tapado y agitado mecánicamente (agitador magnético). Al terminar la adición y habiendo disuelto la sal de aluminio, se dejó a temperatura ambiente durante tres días. Al destapar el bátraz se desprendió abundante cantidad de ácido clorhídrico gaseoso. Se agregaron 100 ml de ácido clorhídrico al 20% y se calentó a 100° durante 1/2

n. La fase orgánica (nitrabenceno d= 1,2) se extrajo con solución acuosa de hidróxido de sodio al 10%. La fase acuosa tenía color negro. Se lavó con éter y se acidificó con ácido clorhídrico diluido, hubo entonces precipitación de un sólido grisáceo de p.f.= 170-3° (diacetato de 2,4,5-trihidroxacetofenona) (31).

De la fase acuosa original (medio ácido) se separó un sólido caffé, p.f.= 200-3°. Se recristalizó de etanol-éter, obteniéndose cristales amarillo pálido con p.f.= 205°. ν_{max} (KBr) 3 390, 1 645, 1 180, 1 310 y 1 212 cm^{-1} , bandas del compuesto identificado como 2,4,5-trihidroxacetofenona (VIII).

2,4,5-triacetoxacetofenona (IX). - 200 mg de 2,4,5-trihidroxacetofenona con 0,5 ml de piridina y 0,5 ml de anhídrido acético, se calentaron a 100° durante una hora en un baño Bremeyer de 10 ml, tapado. A la mezcla de reacción, fríe, se le agrega hielo triturado, separándose un sólido blanco con p.f.= 165-9°. Se cristalizó de metanol, obteniéndose prismas aciculares de p.f.= 165-9°. Descripto, p.f.= 110-111° (31). ν_{max} (KBr) 1 760 y 1 375 cm^{-1} .

2,4,5-trietoxi-benzaldehido (XII). - Su preparación ha sido descrita por Govindachari et al (63). En la presente tesis se utilizó 2,4,5-trietoxibenzaldehido comercial (Aldrich Chemical Co. Inc., 13 000-0). P.f.= 92-4°. ν_{max} (KBr) 1 660, 870, 814, 762, 707 y 588 cm^{-1} .

2,4,5-trietoxibenciliden malonato de dietilo (XX). - A una solución caliente de 1,2 g de 2,4,5-trietoxibenzaldehido en 3 ml de benceno, se añadieron 0,05 ml de malonato de dimetilo, 1 gota de ácido acético y otra de piperidina, y se refluxó durante 7 h a través de una trampa de Dean-Stark, previamente llenada con benceno. Al enfriar cristalizó un sólido de p.f.= 165-7°. El rendimiento fue de 1,75 g; se cristalizó de metanol, obteniéndose prismas de color amarillo con p.f.= 166-7°. ν_{max} (KBr) 1 715 y 1 610 cm^{-1} .

2,4,5-trietoxi cianato de etilo (XXI). - A una mezcla de 1,5 g de trietoxibenzaldehido, 2 ml de talonato ácido de etilo y 3,5 ml de piridina; se le agregaron unas gotas de anilina y de piperidina. La mezcla de reacción se calentó a refljo durante 6 h, después se viertió en 50 ml de una solución 2N de ácido clorofórmico. El sólido obtenido se cristalizó de etanol-agua en forma de hojuelas nacardadas, pequeñas, de color amarillo pálido, con p.f.= 72°. El rendimiento fue de 1 g. Al recristalizarlo de metanol la solución tomó color amarillo verdoso y el éster cristalizó en forma de hojuelas nacardadas, amarillo-verdosas, con p.f.= 72-3° (35). $\nu_{\text{max}}(\text{KBr})$ 1 665 cm^{-1} .

2,4,5-trietoxibenciliten cianoacetanida (XXII). - 1,22 g de trietoxibenzaldehido y 429 mg de 2-cianoacetanida se calentaron en un bano de aceite, hasta fusión. Hecha la fusión se añadieron 2 gotas de piperidina, produciéndose la formación de un sólido, el cual se disolvió con acetato de etilo. La solución obtenida se concentró, cristalizando el producto en forma de prismas aciculares de color amarillo con fluorescencia verde, con p.f.= 190-1°. El rendimiento fue de 1,45 g. El producto se recristalizó de acetato de etilo no aumentando el p.f. $\nu_{\text{max}}(\text{KBr})$ 1 660 cm^{-1} y 2 190 cm^{-1} .

2,3-diectoxi,1,4-benzoquinona (XXIV) y formiato de 2,4,5-trietoxifenol (XXV). - A 4 g de asparaldehido disueltos parcialmente en 1/2 ml de ácido acético glacial se agregaron, gota a gota, 5 ml de ácido peracético (P.C Corporation, Inorganic Chemicals Division, New York 17). La reacción es moderadamente exotérmica. Se diluyó con 30 ml de agua y se filtró el sólido formado, quedando tan agua salobre de color rojo sangre. Se obtuvieron 1,76 g; se trató de disolverlos en tetanol caliente, al no lograrse la mayor parte. El líquido se separó por decantación, del cual cristalizaron de metanol-agua 1,71 g de un sólido blanco, con p.f.= 74-6° en forma de prismas planos rectangulares. Recristalizado de benzene-hexano se obtuvo

en forma de agujas blancas con $\rho.f.=74-5^{\circ}$; se identificó como formiato de 1,4,5-trimetoxi-fenol.

El residuo insoluble en metanol se disolvió en cloroformo, del cual cristalizó un sólido amarillo en forma de prismas. Calentando entre los entreobjetos, sublima ($250-300^{\circ}$) antes de fundir. En tubo cerrado (ayarato de Giulatti) se observó que la muestra toma color negro alrededor de 274° , fundiendo entre $300-310^{\circ}$, con descomposición. Da color rojo cerca con ácido sulfúrico concentrado y rosa con solución de hidróxido de sodio. $\nu_{max}(\text{KBr})$ 1 660 cm^{-1} . Se identificó como 2,5-dimetoxi,1,4-benzoquinona (39). En la bibliografía se encuentran descritas gotas de fusión con descomposición a 220 , 230 , 265 , 303 y 311° , al igual que diferentes tonos de amarillo y formas cristalinas. Schawartz (57) indicó la formación de dos modificaciones cristalinas ($\rho.f.=220^{\circ}$ y 303°), según se actile la 2,5-dimetoxi-quinona con metanol y ácido clorídrico gaseoso ó con diacetato.

Formiato de 2,4,5-trimetoxi-fenol (XIV).— A una suspenión de 4 g de anhídrido maleico en 6 ml de ácido acético glacial (untraz de 125 ml) se agregaron gota a gota, 3,5 ml de ácido peracético al 40% en ácido acético. Durante la adición se mantuvo constante la temperatura ambiente (22°) sumergiendo el matraz en un recipiente con agua. La mezcla se reaccionó diluyé con 100 ml de agua, separándose un sólido que se filtró al vacío. El filtrado se neutralizó cuidadosamente agregando pequeñas porciones de carbonato de potasio; se extrajo dos veces con ether etílico, se secó con sulfato de sodio anhídrico y se evaporó, sin obtener producto adicional.

El sólido se disolvió en metanol caliente, se filtró un pequeño residuo insoluble (2,5-dimetoxi,1,4-benzoquinona) y se recristalizó de metanol-agua, obteniéndose 2,7 g con $\rho.f.=75-7^{\circ}$. Anal.: Calc., para $\text{C}_{8}\text{H}_{8}\text{O}_4$: C, 56,60; H, 5,70; O, 37,70. Encontrados: C, 56,47; H, 5,55; O, 37,93.

Da color rojo con ácido sulfúrico concentrado. $\nu_{max}(\text{KBr})$ 1 745 cm^{-1} .

2,4,5-trimetoxi-fenol (XXVI).- 2 g de formiato del 2,4,5-trimetoxifenol se suspendieron en 10 ml de solución acuosa de hidróxido de sodio al 5% y se calentó a reflujo durante 30 min. Se aciduló con una solución de 1,7 ml de ácido clorhídrico concentrado (3N, de 1,16, Merck) en 1,7 ml de agua, sin observar precipitación. A la solución se le agregó cloruro de sodio, separándose el fenol, el cual se filtró. Se obtuvieron 1,5 g con p.f.= 57-9°. El sólido se disolvió en tetracloruro de carbono ($p.e.= 90-107^{\circ}$), filtrándose 160 mg de sólido insoluble, p.f. superior a 310° , que se descantó. Cristalizaron, al enfriar, 935 mg (en un volumen de 75 ml) con p.f.= 59-61°, igual al descrito (55). Las aguas madre se concentraron, obteniéndose 100 g adicionales. Con ácido sulfúrico concentrado al color verde en eralda foguez.

Reacciones de coloración para la identificación de fenoles:

Reacción de Carius.- Una solución amoniácal de ferricitrino potásico (1 parte en 100 partes de hidróxido de amonio al 10-20%), origina coloraciones varias con diferentes fenoles. Se ensayaron: catecol, café-rojizo; p-fenil-fenol, verdeo; guaiacol, café; p-nártol, anaranjado-rojizo. Con el guaiacol (XXVI) la coloración obtenida depende de la proporción fenol-reactivo. Agregando 1 ml de reactivo a una pequeña cantidad del fenol se obtiene una coloración rojo-naranja. En presencia de exceso de fenol se forma en primer término una coloración azul, la cual pasa a rojo al agregar más reactivo.

Reacción de Jacquinin.- Unos cristales de un fenol se disuelven en 3 gotas de anilina y se agregan 6 gotas de solución de hipoclorito de sodio, obteniéndose una coloración azul, el color vira a rojo al acidular con ácido clorhídrico diluido (3N). El fenol y el guaiacol, se comportan normalmente. Con el guaiacol la reacción es más lenta que con los fenoles anteriores, se sopara un aceite rojo intenso y la fase a-

cada se colores débilmente de azul. Vainillina, negativa. Con el 2,4-dinitroxi-benzaldehído, se forma una coloración amarilla debida probablemente a la formación de la base de Schiff. El ácido 2,4-dinitroxi-benzoico, da color rojo, fuerte, debido al grupo ácido.

Reacción con nitroxíceo-cloruro férrico.— Unas gotas de 1% solución formada por $N_2(NH_4)_2$ al 1% en agua y $FeCl_3$ diluido al 1% en agua, sobre una solución acuosa del fenol, producen una coloración intensa, que generalmente es azul. Si en esta prueba muchos más sensible que la del cloruro férrico. El piroxenol dio azul-verde y el anayacol, verde. Se obtuvo color azul con el fencol, catecol, floreoglucinol y resorcinol. Mates y los dos anteriores dieron reacción positiva con el cloruro férrico. También dieron azul el asarol, la hidroquinona, el α -y el β -nortol, y el nival, los cuales dieron negativa la reacción con el cloruro férrico.

Reactivo de Prückle.— Se disolvieron unos miligramos del fenol en 1 ml de agua y se agrega, sin mezclar, 1 ml de reactivo (solución al 1% de nolitato de amonio en ácido sulfúrico concentrado), en la interfase se obtiene una coloración azul ó azul-verde. La reacción se encontró poco sensible. Fenol, verde; ρ -cresol, verde sobre violáceo; p -bencilo xilenol, verde; p -aminofenol, negativo; N -acetil p -aminofenol, negativo; p -fenilfenol, verde, casi negativo; asarol, café-rejiso (es de hacer notar que no se obtuvo el color verde que se obtiene con solamente ácido sulfúrico concentrado).

Ácido nifídico.— Se obtiene un producto de reacción colorido cuando se arroja anhídrido nifídico a una solución acuosa hirviendo del compuesto orgánico (fenol ó aldehído) y la mezcla se rellaga durante 30 min. Con el asarol se obtuvo color azul fuerte.

Reacción de Macintosh.— A 2 o 3 ml de una solución diluida de fenol se añadieron 1 o 2 gotas de amoniaco, 10 o 20 mg de $\text{K}_2\text{S}_2\text{O}_8$ y unas gotas de solución de nitrato de plata 0,1N. Se forma un color verde el cual cambia a azul. La reacción se ensayó con fenol, verde; guayacol, verde (sin añadir nitrato de plata, tampoco a los siguientes); floroglucinol, rosa y α -naftol, verde. El guarcel díó color naranja, luego café y finalmente se separó un precipitado rojizo. Si tienen exceso se asocia, al iniciar la reacción del permanganato potásico se obtiene color azul. Al añadir más permanganato vira a café y luego a rojo.

Clorato potásico & arseniato sódico en medio sulfúrico.— Se disuelven unos cristales de guarcel en unas gotas de ácido sulfúrico concentrado (se produce un color verde intenso), y se añaden unos cristales de los siguientes reactivos o oxidantes: a) clorato potásico; color rojo y b) arseniato sódico ($\text{Na}_2\text{HAsO}_4 \cdot 7\text{H}_2\text{O}$, Fisher Scientific Co.); color café-rojizo.

Nitrilo de sodio-sulfato mercurírico.— En esta prueba, leída a Macintosh, a una solución acueto-alcohólica de α -naftol se le agrega nitrilo de sodio y unas gotas del reactivo de Demigés (sulfato mercurírico en medio ácido). Se forma un color rojo vivo y luego un precipitado que recuerda al del yoduro mercuríco. El β -naftol da un precipitado amarillento. Se ensayó con guarcel, amarillo, ppdo. amarillo; guayacol, rojo; catecol, álbar y fenol, rosa.

Nitroprusiato de sodio-hidroxilamina.— Si a una pequeña cantidad de un compuesto fenólico, o a su solución acuosa, se le agrega 1 gota de $\text{Na}_3[\text{Fe}(\text{CN})_5\text{NO}]$ al 1% seguida de solución de clorhidrato de hidroxilamina al 1% y de 1 gota de NaOH N, aparece una coloración del verde al azul (46). En la prueba se utilizó nitroprusiato de sodio($\text{Na}_3[\text{Fe}(\text{CN})_5\text{NO}] \cdot 2\text{H}_2\text{O}$) en vez de la sal triásica. El guarcel, fenol, guayacol, timol y los dos naftoles dieron diferentes verdes. El floroglucinol

dio color rojo que pasa a violeta.

Azur regia.- A unos cristales de un fenol se le añaden 4 gotas de azur regia ($3\text{ HCl} : 1\text{ HNO}_3$). Entre los fenoles ensayados, dieron color rojo, el guaiacol, el resorcinol y el fenol; el pirogalol dio color rojizo; el timol, verde y el asarol un precipitado amarillo (2,5-dimetoxi,1,4-benzoquinona).

Condensación fenol-aldehido en medio sulfúrico.- Se preparan soluciones alcohólicas, tanto del fenol como del aldehído. Se mezclan, en un tubo de ensayo, 2 ml de cada solución y se agrega lentamente y resbalando por las paredes del tubo, estratificando, 0,5 a 1 ml de ácido sulfúrico concentrado. La coloración se forma al entrar en contacto el ácido sulfúrico con la solución alcohólica. El asarol dio color rojo con el benzaldehído, el salicilaldehido y el piperonal. Con la vainillina, rojo y verde.

N,N-dimetil,p-fenileno-diamina.- A unos miligramos del compuesto a ensayar se añaden 10 ml de solución acuosa al 0,4% de N,N-dimetil,p-fenileno-diamina, y el 7,5% de carbonato de sodio monohidratado y luego una gota de solución de ferrocianuro de potasio al 10%. El asarol produjo color violeta.

Antidirol - La mezcla de unos cristales de un fenol y xantidirol, se disuelven en 0,5 ml de etanol y 10 gotas de ácido acético; se le agrega, resbalando por las paredes del tubo, para estratificar, 8 gotas de ácido clorhídrico concentrado produciéndose una coloración intensa para cada fenol. Los fenoles ensayados fueron: el guaiacol, catecol y fleroquinol, color bugambilia; fenol y o-cloro-fenol, naranja; asarol, β -metilol y p-bencilexifeno, verde; α -naftol, azul; timol, rosa; p-cresol, rojo; hidroquinona, verdoso; pirogalol, rosa-violeta; t-cresol, naranja-rojizo; N-acetil,p-aminofenol, amarillo.

llo; orcinol, ámbar. Resulta ser una prueba muy sensible en la identificación de fenoles.

2,4,5-trimetoxi-1-oxibenzeno (XVII). - En un matraz Erlenmeyer, se selecciona 1 g de azarol, 3 ml de etanol, 2 ml de sulfato de dimetilo y a esta mezcla se le agrega goteando y con agitación una solución de 1,6 g de NaOH en 1,0 ml de agua. Durante la adición se mantuvo el matraz en un baño de agua para evitar el calentamiento de la mezcla de reacción. Se diluyó la mezcla con agua, obteniéndose un sólido blanco, en forma de agujas con p.f.= 101-102°. Se recristaliza de etanol acuoso. El rendimiento fue de 930 mg. P.f.= 103° (descrito). $\nu_{\text{max}}(\text{KBr})$ 2 820, 1 470, 1 445, 1 220 y 1 025 cm^{-1} , bandas originadas por los grupos $-\text{COCH}_3$.

2,4,5-trimetoxi-1-oxibenzeno (XVIII). - A una mezcla de 1 g de azarol, 3 ml de etanol y 2 ml de sulfato de etilo se le añade poco a poco y agitando una solución de 1,6 g de NaOH en 1,0 ml de agua. La mezcla de reacción se calentó a refljo en un baño de agua (50°) durante media hora, se enfrió a temperatura ambiente y se le agregó agua, formándose una capa de aceite, se bajó la mezcla a un vaso de 50 ml y se enfrió en hielo, el aceite solidificó y el resto del producto que se encontraba disuelto cristalizó. Los grumos del aceite solidificado se rompieron con una espátula, con el fin de homogenizar el sólido obtenido, que se filtró obteniéndose 0,8 g de sólido de color crema con p.f.= 49,5-50°. El producto se disolvió en metanol, se filtró y recristalizó de metanol-agua, p.f.= 49,5-50° (agujas). $\nu_{\text{max}}(\text{KBr})$ 2 810, 1 470, 1 445, 1 220 y 1 025 cm^{-1} .

2-cloro-5-nitrobenzoína. - En 160 ml de benceno seco y libre de tiofeno se disuelven 40,3 g de Ácido 2-cloro-5-nitrobenzoico (Eastman Kodak) y 50 g (exceso) de PCl_5 . Se hiere a refljo hasta que cesa la generación de HCl , lo que sucede ocurriendo después de una o dos horas. A la solución caliente se le agregan, en porciones y con precaución, 40 g de cloruro de aluminio,

rio. Bajo calentamiento energético y abundante espuma (usar por ello matraz de 500 ml) se realiza la condensación.

Para terminar la reacción se sigue calentando 1 y 1/2 horas a baño María y después de enfriar, la masa de reacción de color café se vierte con precaución para evitar cualquier calentamiento. La solución de benzene se lava primero con clorhídrico diluido, luego con agua y finalmente con soda acuosa. Posteriormente se sirve con carbón y se filtra en caliente.

El producto de reacción solidifica espontáneamente. Si no ocurre así se provoca la cristalización raspando con una varilla de vidrio. Rendimiento de 60-90% del teórico. Por cristalización de alcohol etílico, se obtiene un p.f.= 52°. La solución de soda acuosa para lavar el benzene da ácido que no ha reaccionado (59). $\nu_{\text{max}}(\text{KBr})$ 1 878 cm^{-1} .

2-nitrofenoxy,3-nitrobenzofenona (XIX).— En un matraz Arlen Meyer de 150 ml se colocan 0,92 g de azúcar, 0,20 g de hidróxido de sodio, pulverizado, y 1,31 g de 2-cloro,5-nitrobenzofenona. Se siguió la técnica descrita por Loudon y Scott (60). El sólido obtenido se trituró en un mortero, lavó con NaOH al 10% y con agua. Se cristalizó de etanol. El rendimiento fue de 1,02 g de agujas amarillas con p.f.= 120-121°. $\nu_{\text{max}}(\text{KBr})$ 1 670 cm^{-1} .

1,4-dimetoxibenzofenona (XX).— En un matraz de 250 ml se colocaron 6 ml de veratrol y 6 ml de cloruro de benzoilo. La mezcla se enfrío inicialmente en hielo y se le añadió, en pequeñas porciones y agitando con una varilla de vidrio, 7,5 g de tricloruro de aluminio anhidrido, la adición produce que la reacción toma color rojo oscuro. Antes de finalizar la adición empieza a solidificar la mezcla de reacción y toma color amarillo verdoso. Se volvió a enfriar y se le agregó hielo triturado, viendo el color a violeta, el cual desaparece al tallar con una varilla de vidrio, separándose un sólido blanco. Se decantó, agitó agua y se calentó hasta fusión del sólido, se enfrió agitando simultáneamente, lo viera de que solidificara en grumos

pequeños. Se filtró, lavó con agua y recristalizó de metanol, obteniéndose 0,7 g de un sólido cristalino blanco con p.f.= 97-100° (61). ν_{max} (KBr) 1 650 cm^{-1} .

P-bis(2-metoxieto)- α -anisato de α -anisatoxifeno (XXX).-(α -Anisato de anisol). Una mezcla de 0,92 g de anisol en 1 ml de piridina y 0,35 ml de cloruro de anisilo se calentó, sin hervir, durante 1 h. Terminado el calentamiento se enfrió a temperatura ambiente y se le añadió agua. El sólido obtenido se filtró. Se obtuvieron 1,75 g con p.f.= 129-133° (ablanda desde 115°) recristalizado de metanol, en el cual es poco soluble, se obtuvo en forma de prismas rectangulares que funden a 137-8°. ν_{max} (KBr) 1 735 cm^{-1} (C=O); 1 625, 1 470, 1 445, 1 260 y 1 026 cm^{-1} (-COCH₃).

p-Fenil-acetoxiante de 2,4,5-trimetoxifeno (XXXI).- A 0,92 g de anisol disuelto en 3 ml de piridina se le añadieron 1,23 g de cloruro de anisilo; la mezcla se calentó durante 1 h, sin hervir (100°). Siguiendo la misma técnica que para el compuesto anterior se obtuvieron 1,6 g de producto con p.f.= 115-141°. Cristaliza en etanol en forma de hojuelas irregulares, rojas. ν_{max} (KBr) 1 735 cm^{-1} (C=O); 1 610 cm^{-1} (-N=O-) y las bandas correspondientes a los metoxilos en 2 620, 1 470, 1 445, 1 260 y 1 026 cm^{-1} .

α -nafato de 2,4,5-trimetoxifeno (XXXII).-(62)
Se preparó a partir de 0,7 g de 2,4,5-trimetoxifeno, 0,7 ml de cloruro de α -nafitoilo y 1 ml de piridina, según la técnica usual. Se cristalizó en etanol, obteniéndose 1,025 g con p.f.= 85-91°. Una recristalización en etanol dio 0,855 g, p.f.= 87-91° (prismas). ν_{max} (KBr) 1 730 cm^{-1} (C=O); 2 810, 1 465, 1 445, 1 270 y 1 026 cm^{-1} (-COCH₃).

Lisil sulfonato de 2,4,5-trimetoxifeno (XXXIV).- (Lesilato de anisol). Una solución de 0,92 g de anisol en 3 ml

de piridina y 0,57 g (0,4 ml) de cloruro de metansulfonilo se calentó durante una hora a 100° (sin hervir). Después de terminado el calentamiento, el bártex contenido la mezcla de reacción se enfrió a temperatura ambiente, se agregó ácido clorídrico diluido. Solidificó el derivado, se filtró y cristalizó de etanol, obteniéndose en forma de agujas con p.f.= 105-107°. $\nu_{\text{max}}(\text{KBr})$ 2 820, 1 470, 1 445, 1 260 y 1 028 cm^{-1} (-OCH₃); 1 300 y 1 168 cm^{-1} (sulfonato).

m-nitro-benceno-sulfonato de 2,4,5-trimetoxifenol (XXXV).— A la solución formada por 0,92 g de azarol en 3 ml de piridina se le agregaron 1,11 g de cloruro de m-nitro-benceno-sulfonilo (British Drug house). La mezcla de reacción se calentó a 100° durante 1 h. Se enfrió y añadió ácido clorídrico diluido, separándose un aceite, siendo necesario tallar las paredes del bártex con una varilla de vidrio para que se formara sólido. Se filtró, obteniéndose 0,98 g con p.f.= 95-110° (ablanda desde 94°). Se cristalizó de benzene-hexano, prismas con p.f.= 103-6°. Recristalizado de etanol funde a 104-105°. $\nu_{\text{max}}(\text{KBr})$ 2 825, 1 470, 1 450, 1 258 y 1 025 cm^{-1} (-OCH₃); 1 377 y 1 180 cm^{-1} (sulfonato); 1 355, 650 y 732 cm^{-1} (-NO₂).

Conclusiones.

1.- En esta tesis se describen los siguientes productos sintéticos nuevos:

2(2',4',5'-trimetoxifenil)benzoazol
 2,7bis(2',4',5'-trimetoxibenciliden)cicloheptanona
 2,4,5-trimetoxibenciliden malonato de dimetilo
 2,4,5-trimetoxibenciliden cianacetamida
 2,4,5-trimetoxicinnamato de etilo
 Formilato del 2,4,5-trimetoxifenol (del asarol)
 2,4,5-trimetoxi,etoxibenceno
 2-asarilexi,5-nitrobencenofenona
 α -naftonato del 2,4,5-trimetoxifenol
 p-metoxibencenato del 2,4,5-trimetoxifenol
 p-fenilazobenzenoato del 2,4,5-trimetoxifenol
 Metilsulfonato del 2,4,5-trimetoxifenol
 m-nitrobencensulfonato del 2,4,5-trimetoxifenol

2.- Se prepararon las siguientes substancias, siguiendo métodos diferentes a los descritos:

Alcohol 2,4,5-trimetoxibencílico (alcohol asarfílico)
 Aldehido asarfílico
 2,4,5-trimetoxifenol (asarol)
 2,5-dimetoxy,1,4-benzoquinona

3.- Se modificaron las técnicas descritas para la preparación de los siguientes compuestos:

1,2,4-trimetoxi,5-propenil benceno (asarona)
 3,4-dimetoxibenzofenona

4.- Se estudió la reacción del 2,4,5-trimetoxibenciliden malonato de dimetilo con fenilhidracina y la de la 2,4,5-trimetoxibenciliden acetilacetona con p-anisidina.

5.- Se efectuaron reacciones de coloración con el 2,4,5-trimetoxifenol, de utilidad en la identificación de este compuesto.

6.- De todos los compuestos preparados se determinaron los espectros de infrarrojo y se describen 9 espectros de resonancia magnética nuclear de algunos de los mismos.

Bibliografía.

- 1.- Alphen, J. van, Rec. Trav. Chim., **47**: 174 (1926).
- 2.- Alphen, J. van, Rec. Trav. Chim., **48**: 195 (1927).
- 3.- Fabrey, R. y T. Szekl, Ber., **11**: 1811 (1906).
- 4.- Fabrey, R. y T. Szekl, Bull. Soc. Chim., 4^a serie, Tomo II: 1000 (1907).
- 5.- Gattermann, L. y P. Lohner, Ber., **11**: 289 (1898).
- 6.- Peyer, H., Organic Chemistry, p. 419. Frankfurt/Main-Zürich (1941).
- 7.- Govindachari, T. R., K. Nagarajan y P. C. Parthasarathy, J. Chem. Soc., 540 (1957).
- 8.- Darwaza, S. S., P. K. Sharma y L. K. Lenon, Indian J. Med. Res., **40**: 750 (1961); C. A., **59**: 5067-c (1963).
- 9.- Pleser, L. F. y L. Pleser, Advanced Organic Chemistry, p. 882, Nueva York (1961).
- 10.- Marcellini, G. y S. Martegiani, Batt. Chim. Ital., **41-II**: 448 (1911).
- 11.- Vliet, D. R., Org. Synth., I: 317 (1941).
- 12.- Pinner, J. y J. Taubman, Organic Chemistry, p. 742. Oxford (1950).
- 13.- Martin, H. D., Amer. Chem. J., **41**: 477 (1909).
- 14.- Taylor, W. I., J. Chem. Soc., 2030 (1954).
- 15.- Brügel, L. H., L. D. Coletroon, H. L. Fales y W. Wildman, Anal. Chem., **29**: 310 (1957).
- 16.- Silverstein, R. M. y S. C. Bassler, Spectrometric Identification of Organic Compounds, Nueva York (1963).
- 17.- Nakamai, K., Infrared Absorption Spectroscopy, p. 26. Holden-Day, Inc, San Francisco (1964).
- 18.- Govindachari, T. R., K. Nagarajan y P. C. Parthasarathy, J. Chem. Soc., 91: (1958).
- 19.- Gowen, S. E. y T. S. Wheeler, Name Index of Organic Reactions, p. 93 193. Longmans, Londres (1962).

- 20.- Hünig-Rothschild, R. J., Reacciones de los compuestos orgánicos, p. 339, Karlsruhe, Parsonova (1956).
- 21.- Patai, S. y J. Mehta, A Modern Approach to Organic Chemistry, p. 765, N.Y., Interscience (1967).
- 22.- Endo, T., S. Matsunaga y T. Suzuki, Yokozuka Zasshi, **86** (10): 513-6 (1966).
- 23.- Rosengren, K. E., J. L. Olsonson y W. J. L. Stowe, J. Chem. Soc., 99-101 (1967).
- 24.- Fawcett, W. G., Wilson y A. Buckow, Ber., **33**: 165-6 (1900).
- 25.- Porton, R. E., Correlation patterns, **41**: 3071-7 (1964).
- 26.- Hardegger, K., Hölz. GERAK. ACTA, **47**: 1996 (1964).
- 27.- Kuboda, G. y T. Iwahashi, Sci. Inst. Inst. Phys. Chem. Res. (Tokyo), **20**: 51 (1932).
- 28.- Marquetand, A. y G. Avrutin, Sov. Chir. List., **40-II**: 342 (1916).
- 29.- Belgradskii, J. y J. Tisbor, Ber., **43**: 1964 (1910).
- 30.- Mustander, Y., Organic Chem., **136**: 213 (1933).
- 31.- Hoffstein, (Wundrich) der Organischen Chemie, 4th ed., 1^{er} supl. Band, VII-VIII, No. 7-8, p. 666-7, Berlin (1931).
- 32.- Barbjohn, R. y A. Fendel, J. Org. Chem., **21**: 218 (1956).
- 33.- Jakschek, K.K., Nuclear Magnetic Resonance Spectroscopy, p. 92. Pergamon Press, Londres (1959).
- 34.- Banayajulu, V. V. y K. V. Bubba-Rao, Proc. Indian Acad. Sci., **39-A**: 103-6 (1964).
- 35.- Adueño-Vilaseca, F., Química Orgánica, **25** (1): 29-30 (1966).
- 36.- Adueño-Vilaseca, F. y L. M. Batnere, Química Orgánica, **25** (2): 61-66 (1966); Ibidem, **26** (1): 69-76 (1966).
- 37.- Healey, M. y R. Robinson, J. Chem. Soc., 1627 (1934).
- 38.- Ballito, A. y L. Alvarante, Ann. Chim. (Roma), **41**: 471-4 (1951).
- 39.- Johnson, E. C., Rec. Trans. Chem., **20**: 100-1 (1931).
- 40.- Pohl, A. E., Test and Reagents, Chemical and Microscopical, p. 41, J. Wiley, New York (1933).
- 41.- Weber, A.H. y A. Langeman, poly. Chile. Acta, **42**: (1), 1(1965).

- 42.- Pesez, M. y P. Peirier, Méthodes et Réactions de l'Analyse Organique, Vol. III, p. 22. Lasson et Cie. París (1954).
- 43.- Tripathi, A., Bharat (Delhi, India), 4: (1), 53 (1966); C. A., 64: 17345 (1966).
- 44.- Zaschich, A., J. Russ. Chem. Soc., 12: 140-1 (1880).
- 45.- Eberl, L., Bergr. Mineralogie, 75: 50 (1934).
- 46.- Ohmura, S., J. Polym. Soc. Japan, 12: 373 (1950); C. A., 46: 9473 (1951).
- 47.- Terti, F., Boll. Chim. Farm., 24: 242 (1940); C. A., 36: 5733 (1947).
- 48.- Sánchez-Vianca, F., Ciencias, Lex., Parte IV (en prensa).
- 49.- Yavorantski, N. P., Zhur. Anal. Khim., 1; 35-9 (1956); C. A., 52: 12632 (1958).
- 50.- Cross, A.D., Introduction Practical Infrared Spectroscopy, p. 97, 56, 68, 70, 72, 73. Butterworths, Londres (1962).
- 51.- Urkoc, J., V. Horovitz y F. Serm, Boll. Czech. Chem. Comm., 26: 1621 (1951).
- 52.- Silver, R. F., Can. J. Chem., 45 (9): 1001 (1967).
- 53.- Allen, C. F. H. y F. W. Spangler, Cr. Synth. Coll., 3: 377-9 (1955).
- 54.- Yukawa, Y., Handbook of Organic Structural Analysis, p. 338. W. A. Benjamin, Inc. Nueva York (1965).
- 55.- Thiela, J., Ber., 11: 1243 (1898).
- 56.- Roncoe, H. E. y G. Scherlemer, Treatise of Chemistry, p. 190. Vol. 3, Parte III. D. Appleton & Co. Nueva York (1903).
- 57.- Schwartz, J., Acta Chim. Acad. Sci. Hung., 20: 239-42 (1959).
- 58.- Spath, E., L. Hailler y I. Bergely, Ber., 73: 803 (1940).
- 59.- Fried, Analytic, 42: 167 (1977).
- 60.- Loudon, J. D. y J. A. Scott, J. Chem. Soc., 265-8 (1953).
- 61.- Sachs, F. y R. Thonet, Ber., 37: 3332 (1904).
- 62.- Shriman, R. L., R. C. Fusion y D. Curtin, The Systematic Identification of Organic Compounds, p. 38, 4^a edic. J. Wiley, Nueva York (1955).
- 63.- Govindachari, T. R., K. Nagarajan, B.R. Pai y P.C. Parthasarathy, J. Chem. Soc., 547 (1957).

ESTA TELA SE IMPRESO EN AÑO DE 1988
EMPLEANDO EL ITEMIA DE REPRODUCCION
SERIGR.A-OFFSET EN LOS TALLERES DE
IMPRESOS OFFSET -G. S. A., MIER Y PESADO MGA
Y AV. COLONIA DEL VALLE EN COL. DEL VALLE
MEXICO D. F. TEL. 53-21-69 Y 53-20-11